# Inférence topologique avec l'homologie persistante

Raphaël Tinarrage

Séminaire MACS, UMPA Lyon

I - Homologie singulière

II - Homologie persistante

III - Exemples

IV - Homologie persistante pour mesures

## Homologie singulière

3/21 (1/7)

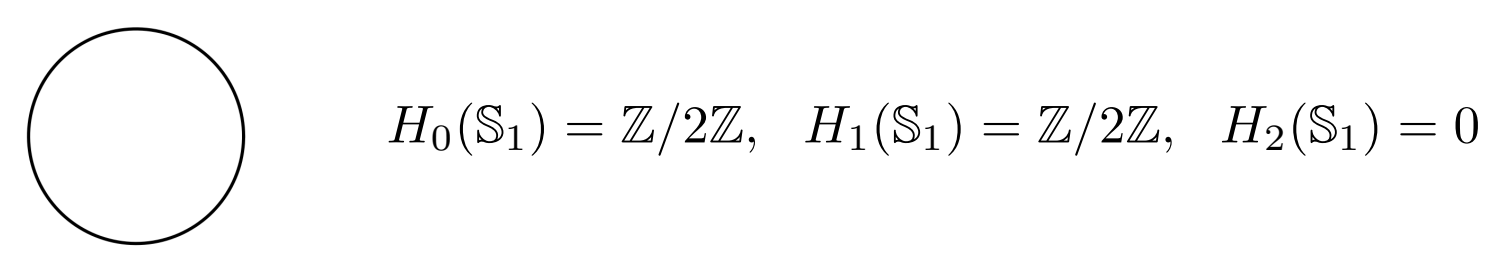
Soit  $\mathbb{Z}/2\mathbb{Z}$  le corps à deux éléments.

A tout espace topologique X est associé une suite d'espaces vectoriels sur  $\mathbb{Z}/2\mathbb{Z}$ , notés  $H_0(X),\ H_1(X),\ H_2(X),\ \dots$ 

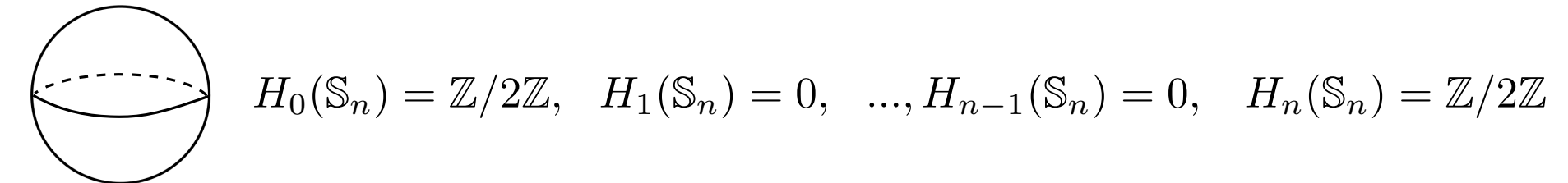
A tout espace topologique X est associé une suite d'espaces vectoriels sur  $\mathbb{Z}/2\mathbb{Z}$ , notés  $H_0(X),\ H_1(X),\ H_2(X),\ \dots$ 

#### Exemples:

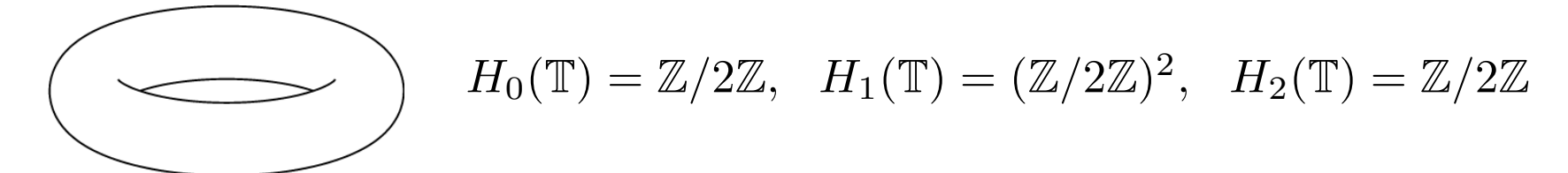
ullet Si X est le cercle  $\mathbb{S}_1\subset\mathbb{R}^2$ , alors



ullet Si X est la sphère  $\mathbb{S}_n\subset\mathbb{R}^{n+1}$ , alors



lacksquare Si X est le tore  $\mathbb{T}\subset\mathbb{R}^3$ , alors



A tout espace topologique X est associé une suite d'espaces vectoriels sur  $\mathbb{Z}/2\mathbb{Z}$ , notés  $H_0(X),\ H_1(X),\ H_2(X),\ \dots$ 

## Construction des groupes d'homologie :

Soit  $\Delta^n$  le n-simplexe (l'espace topologique défini comme l'enveloppe convexe des vecteurs de la base canonique de  $\mathbb{R}^{n+1}$ ). Un n-simplexe singulier est une application continue  $\sigma \colon \Delta^n \to X$ . Pour tout  $i \in [0,n]$ , sa  $i^{\text{ème}}$  face est le (n-1)-simplexe singulier défini par  $\delta_i \sigma \colon (t_0,...,t_{n-1}) \mapsto \sigma(t_0,...,t_i,0,t_{i+1},...,t_{n-1})$ .

Soit  $C_n(X)$  le groupe libre engendré par les n-simplexes et avec coefficients dans  $\mathbb{Z}/2\mathbb{Z}$ . On définit l'opérateur de bord  $\partial_n \colon C_n(X) \to C_{n-1}(X)$  comme  $\partial_n(\sigma) = \sum_{i=0}^n \delta_i \sigma$ . On a la relation  $\delta_n \circ \delta_{n+1} = 0$ .

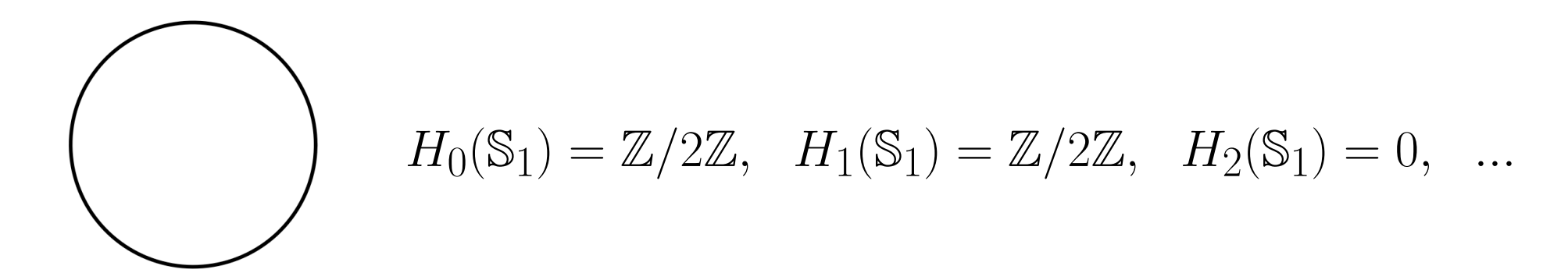
Pour tout  $n \geq 0$ , on définit les n-cycles  $Z_n(X) = \ker(\partial_n)$  et les n-bords  $B_n(X) = \operatorname{im}(\partial_{n+1})$ . La relation  $Z_n(X) \subseteq B_n(X)$  permet de définir le  $n^{\operatorname{\`e}me}$  groupe d'homologie  $H_n(X) = Z_n(X)/B_n(X)$ .

A tout espace topologique X est associé une suite d'espaces vectoriels sur  $\mathbb{Z}/2\mathbb{Z}$ , notés  $H_0(X),\ H_1(X),\ H_2(X),\ \dots$ 

- $H_0(X) \simeq (\mathbb{Z}/2\mathbb{Z})^{k_0}$ , où  $k_0$  est le nombre de composantes connexes de X
- $H_1(X) \simeq (\mathbb{Z}/2\mathbb{Z})^{k_1}$ , où  $k_1$  est le nombre de "trous dans X"
- $H_2(X) \simeq (\mathbb{Z}/2\mathbb{Z})^{k_2}$ , où  $k_2$  est le nombre de "trous de dimension 2 dans X"

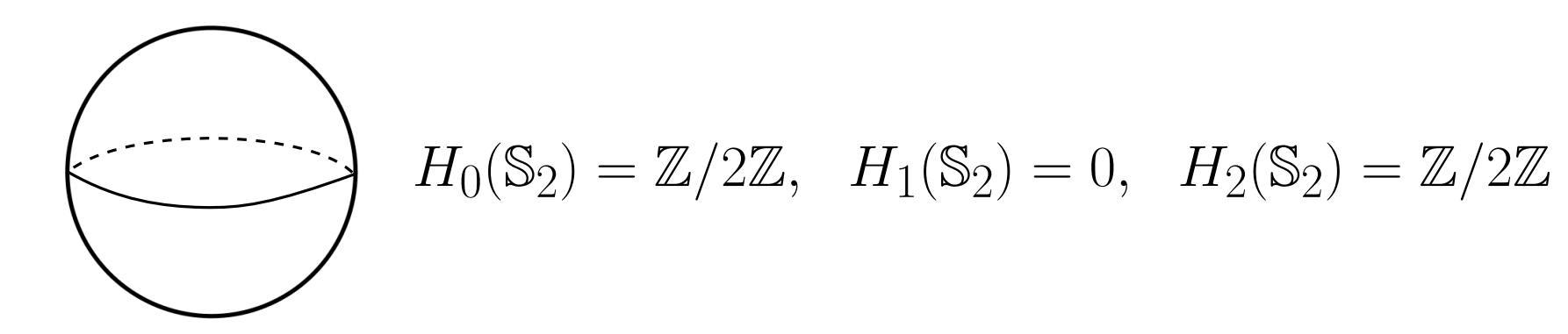
A tout espace topologique X est associé une suite d'espaces vectoriels sur  $\mathbb{Z}/2\mathbb{Z}$ , notés  $H_0(X),\ H_1(X),\ H_2(X),\ \dots$ 

- $H_0(X) \simeq (\mathbb{Z}/2\mathbb{Z})^{k_0}$ , où  $k_0$  est le nombre de composantes connexes de X
- $H_1(X) \simeq (\mathbb{Z}/2\mathbb{Z})^{k_1}$ , où  $k_1$  est le nombre de "trous dans X"
- $H_2(X) \simeq (\mathbb{Z}/2\mathbb{Z})^{k_2}$ , où  $k_2$  est le nombre de "trous de dimension 2 dans X"



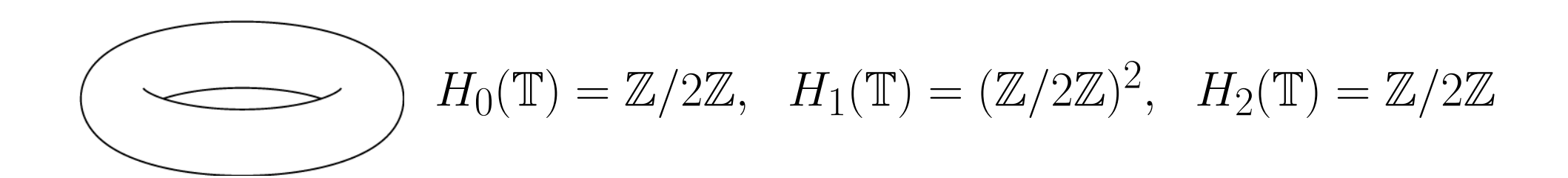
A tout espace topologique X est associé une suite d'espaces vectoriels sur  $\mathbb{Z}/2\mathbb{Z}$ , notés  $H_0(X),\ H_1(X),\ H_2(X),\ \dots$ 

- $H_0(X) \simeq (\mathbb{Z}/2\mathbb{Z})^{k_0}$ , où  $k_0$  est le nombre de composantes connexes de X
- $H_1(X) \simeq (\mathbb{Z}/2\mathbb{Z})^{k_1}$ , où  $k_1$  est le nombre de "trous dans X"
- $H_2(X) \simeq (\mathbb{Z}/2\mathbb{Z})^{k_2}$ , où  $k_2$  est le nombre de "trous de dimension 2 dans X"



A tout espace topologique X est associé une suite d'espaces vectoriels sur  $\mathbb{Z}/2\mathbb{Z}$ , notés  $H_0(X),\ H_1(X),\ H_2(X),\ \dots$ 

- $H_0(X) \simeq (\mathbb{Z}/2\mathbb{Z})^{k_0}$ , où  $k_0$  est le nombre de composantes connexes de X
- $H_1(X) \simeq (\mathbb{Z}/2\mathbb{Z})^{k_1}$ , où  $k_1$  est le nombre de "trous dans X"
- $H_2(X) \simeq (\mathbb{Z}/2\mathbb{Z})^{k_2}$ , où  $k_2$  est le nombre de "trous de dimension 2 dans X"



Le  $n^{\text{ème}}$  groupe d'homologie est un foncteur  $\mathrm{Top} \longrightarrow \mathrm{Vect}$ , où  $\mathrm{Top}$  est la catégorie des espaces topologiques, et  $\mathrm{Vect}$  celle des  $\mathbb{Z}/2\mathbb{Z}$ -espaces vectoriels.

Autrement dit, on peut aussi transformer les applications entre espaces topologiques.

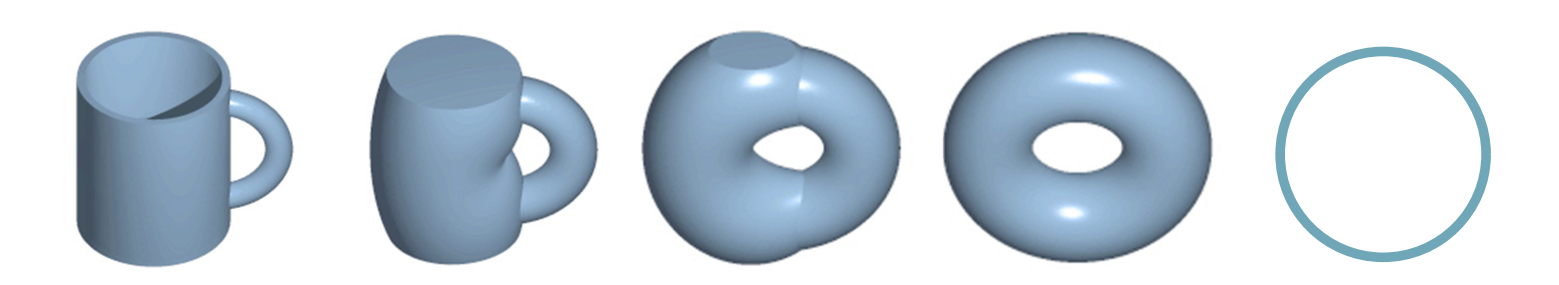
$$X \xrightarrow{f} Y \qquad H_n(X) \xrightarrow{H_n(f)} H_n(Y)$$

Cette opération préserve les diagrammes commutatifs :

$$X \xrightarrow{g \circ f} Z, \qquad H_n(g \circ f) \xrightarrow{H_n(g \circ f)} H_n(Y) \xrightarrow{H_n(g)} H_n(Z).$$

Le  $n^{\text{ème}}$  groupe d'homologie est un foncteur  $\mathrm{Top} \longrightarrow \mathrm{Vect}$ , où  $\mathrm{Top}$  est la catégorie des espaces topologiques, et  $\mathrm{Vect}$  celle des  $\mathbb{Z}/2\mathbb{Z}$ -espaces vectoriels.

Conséquence : deux espaces topologique du même type d'homotopie ont les mêmes groupes d'homologie.



$$H_0 = \mathbb{Z}/2\mathbb{Z}, \quad H_1 = \mathbb{Z}/2\mathbb{Z}, \quad H_2 = 0$$

### Invariance du domaine

Montrons que  $\mathbb{R}^n$  et  $\mathbb{R}^m$ , avec  $n \neq m$ , ne sont pas homéomorphes.

Soit  $h: \mathbb{R}^n \to \mathbb{R}^m$  un homéomorphisme.

Soit  $x \in \mathbb{R}^n$  quelconque, et condisérons l'application restreinte

$$h: \mathbb{R}^n \setminus \{x\} \longrightarrow \mathbb{R}^m \setminus \{h(x)\}$$

On a des isomorphismes en homologie :

$$H_i(h): H_i(\mathbb{R}^n \setminus \{x\}) \simeq H_i(\mathbb{R}^m \setminus \{h(x)\})$$

Mais  $\mathbb{R}^n \setminus \{x\} \simeq \mathbb{S}_{n-1}$ , donc on a

$$H_i(\mathbb{S}_{n-1}) \simeq H_i(\mathbb{S}_{m-1})$$

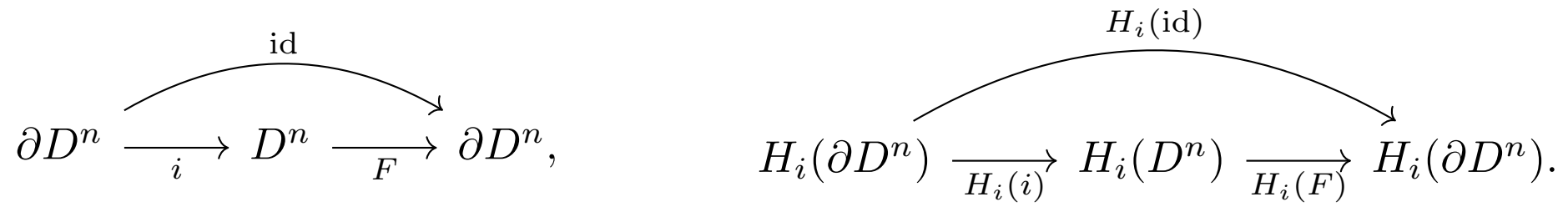
Contradiction si  $n \neq m$ .

#### Point fixe de Brouwer

Soit  $f: D^n \to D^n$  continue, où  $D^n$  est le disque unité de  $\mathbb{R}^n$ . Montrons que f admet un point fixe.

Si ce n'est pas le cas, on peut construire une application  $F\colon D^n\to \partial D^n$  telle que F restreinte à  $\partial D^n$  soit l'identité. Pour cela, définir F(x) comme la première intersection entre la demi-droite [x,f(x)) et  $\partial D^n$ .

Soit l'inclusion  $i: \partial D^n \to D^n$ . Alors  $F \circ i: \partial D^n \to \partial D^n$  est l'identité. Par naturalité de l'homologie, on a les diagrammes



Mais pour i = n - 1, on a un diagramme absurde :

$$\mathbb{Z}/2\mathbb{Z} \longrightarrow 0 \longrightarrow \mathbb{Z}/2\mathbb{Z}.$$

## Théorème de Borsuk-Ulam

Soit  $f : \mathbb{S}_n \to \mathbb{R}^n$  continue. Montrons qu'il existe x tel que f(x) = f(-x).

Supposons que ce ne soit pas le cas. Soit la fonction  $g \colon \mathbb{S}_n \to \mathbb{S}_{n-1}$  définie par

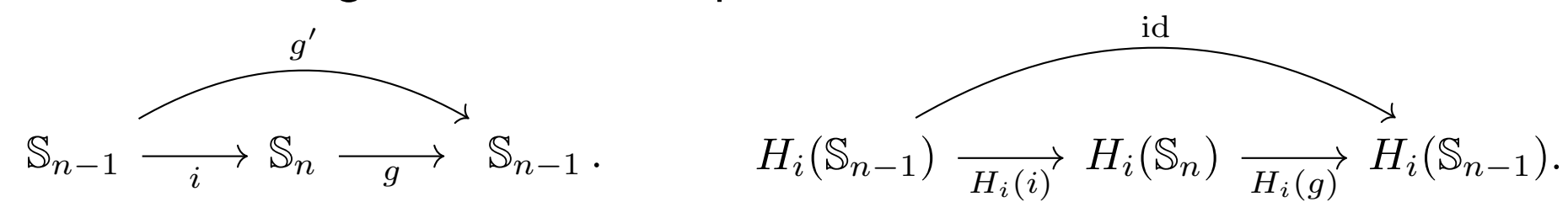
$$g(x) = \frac{f(x) - f(-x)}{\|f(x) - f(-x)\|}$$

Soit un grand cercle  $\mathbb{S}_{n-1} \subset \mathbb{S}_n$  et la restriction  $g' \colon \mathbb{S}_{n-1} \to \mathbb{S}_{n-1}$ . Cette fonction est impaire, et on peut en déduire que l'application induite

$$H_i(g'): H_i(\mathbb{S}_{n-1}) \to H_i(\mathbb{S}_{n-1})$$

est l'identité.

On obtient un diagramme absurde pour i = n - 1:



I - Homologie singulière

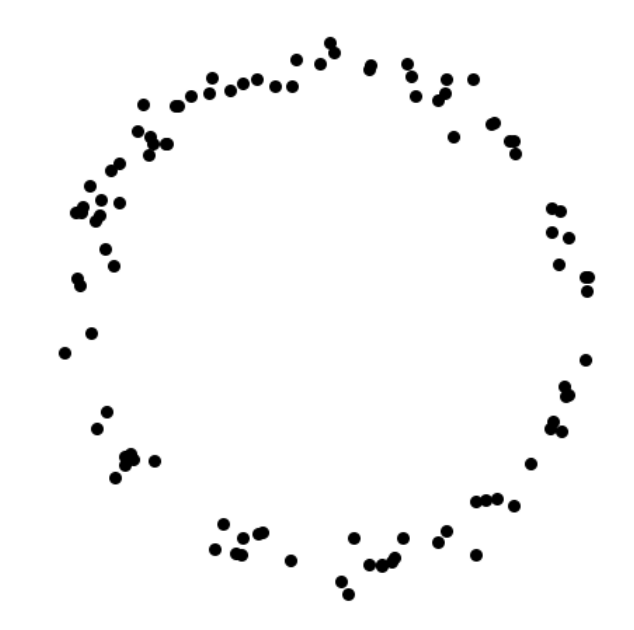
II - Homologie persistante

III - Exemples

IV - Homologie persistante pour mesures

# Homologie en pratique

Après une expérience scientifique, on obtient un nuage de points.

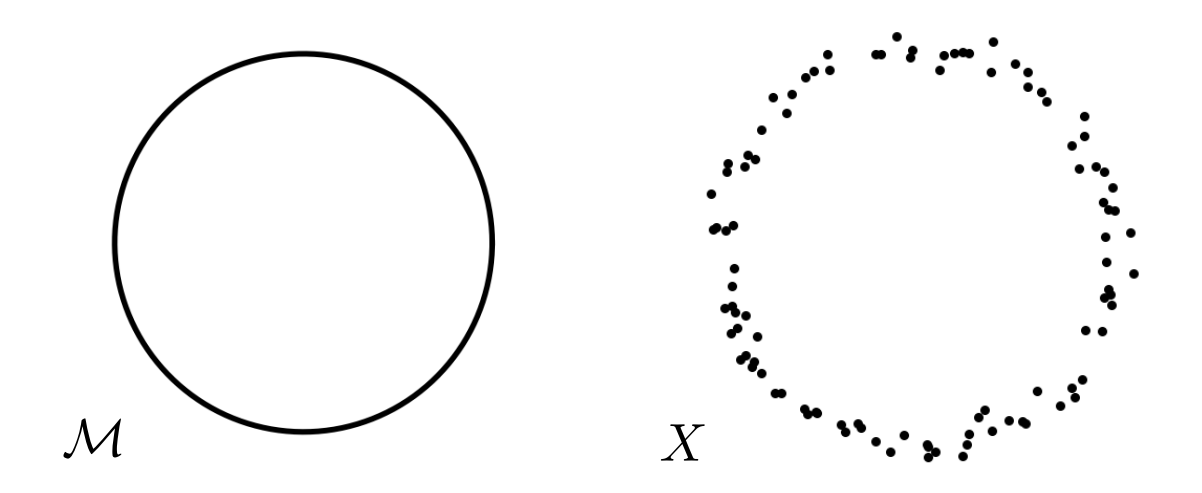


lci,  $X \subset \mathbb{R}^2$  semble être proche du cercle  $\mathbb{S}_1$ .

Mais son homologie est décevante :

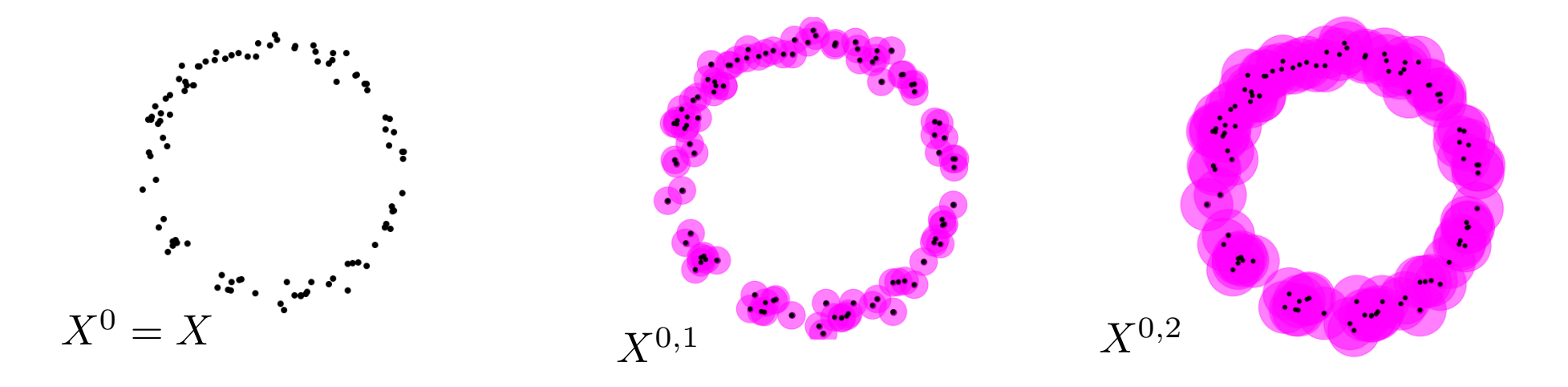
$$H_0(X) = (\mathbb{Z}/2\mathbb{Z})^{100}, \quad H_1(X) = 0, \quad H_2(X) = 0, \dots$$

On va essayer de reconstruire le cercle à partir de X.



Pour tout  $t \ge 0$ , on définit le t-épaisissement de X:

$$X^{t} = \{ y \in \mathbb{R}^{n}, \exists x \in X, ||x - y|| \le t \}$$



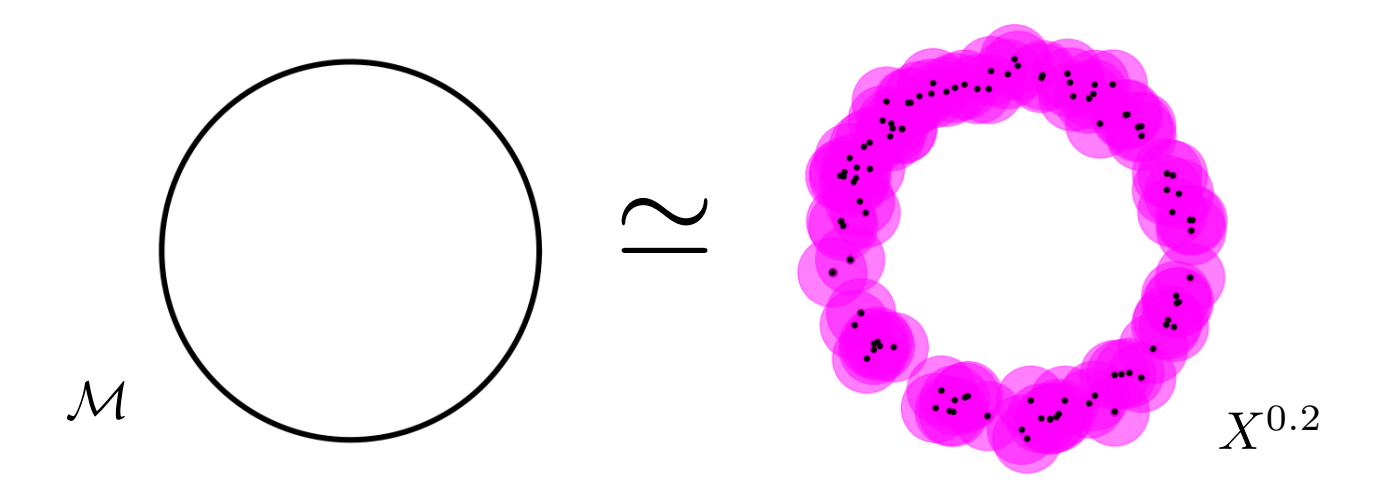
Théorème (Chazal, Cohen-Steiner, Lieutier, 2009)

Soient  $\mathcal{M}, X$  deux sous-ensembles de  $\mathbb{R}^n$ .

On suppose que portée $(\mathcal{M}) > 0$  and  $d_H(X, \mathcal{M}) \leq \frac{1}{17}$ portée $(\mathcal{M})$ . Soit

$$t \in [4d_{\mathrm{H}}(X, \mathcal{M}), \mathsf{port\acute{e}e}(\mathcal{M}) - 3d_{\mathrm{H}}(X, \mathcal{M}))$$
.

Alors  $X^t$  et  $\mathcal{M}$  ont le même type d'homotopie.



# **Epaisissements**

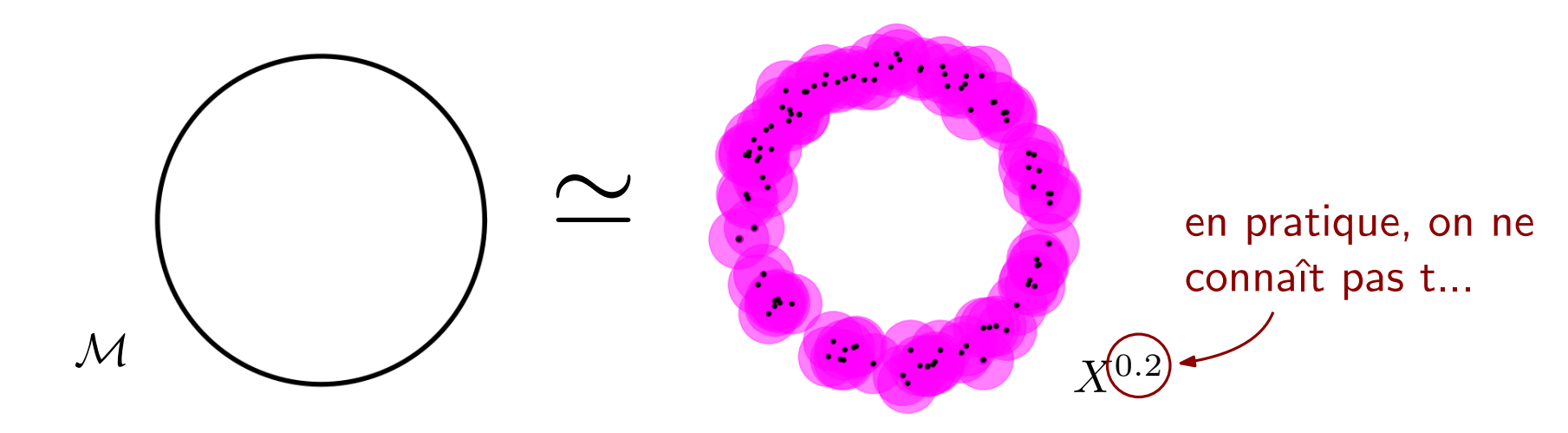
Théorème (Chazal, Cohen-Steiner, Lieutier, 2009)

Soient  $\mathcal{M}, X$  deux sous-ensembles de  $\mathbb{R}^n$ .

On suppose que portée $(\mathcal{M}) > 0$  and  $d_H(X, \mathcal{M}) \leq \frac{1}{17}$ portée $(\mathcal{M})$ . Soit

$$t \in [4d_{\mathrm{H}}(X, \mathcal{M}), \mathsf{port\acute{e}e}(\mathcal{M}) - 3d_{\mathrm{H}}(X, \mathcal{M}))$$
.

Alors  $X^t$  et  $\mathcal{M}$  ont le même type d'homotopie.



#### Definition

La filtration de Čech de X est la collection :

$$V[X] = \left(X^t\right)_{t>0}.$$

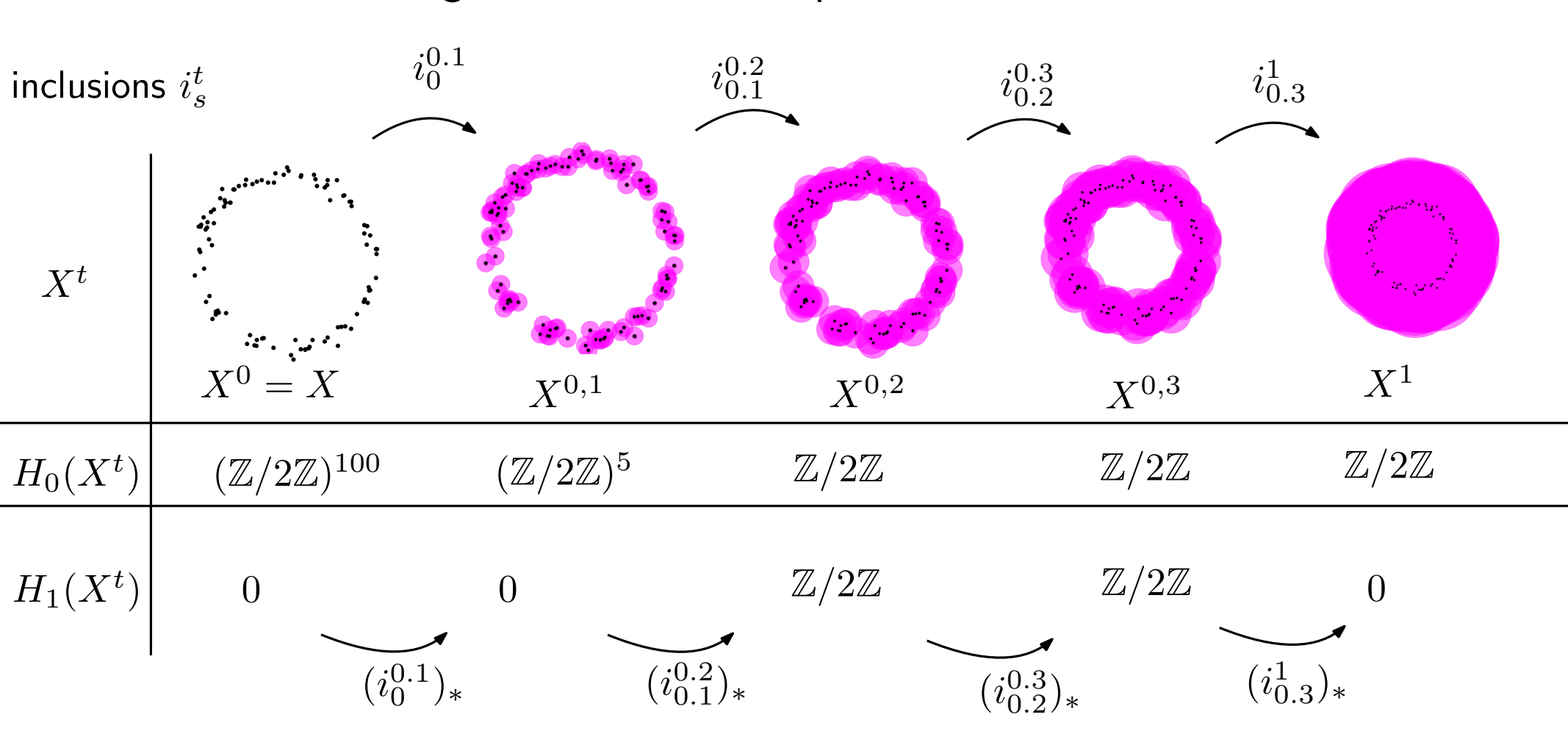
# Homologie de la filtration de Čech

9/21 (1/2)

On calcule l'homologie de chacun des épaisissements.

$X^t$	$X^0 = X$	$X^{0,1}$	$X^{0,2}$	$X^{0,3}$	$X^1$
$H_0(X^t)$	$(\mathbb{Z}/2\mathbb{Z})^{100}$	$(\mathbb{Z}/2\mathbb{Z})^5$	$\mathbb{Z}/2\mathbb{Z}$	$\mathbb{Z}/2\mathbb{Z}$	$\mathbb{Z}/2\mathbb{Z}$
$H_1(X^t)$	0	0	$\mathbb{Z}/2\mathbb{Z}$	$\mathbb{Z}/2\mathbb{Z}$	0

On calcule l'homologie de chacun des épaisissements.

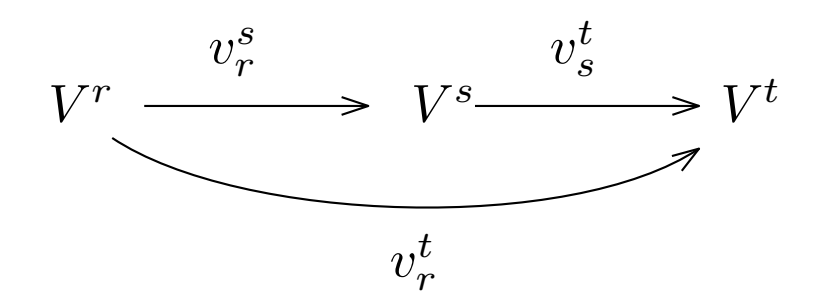


La donnée de  $(H_i(X^t))_{t \geq 0}$  et  $((i_s^t)_*)_{s < t}$  s'appelle un *module de persistance*.

#### **Définition**

Un module de persistance  $\mathbb{V}$  sur  $\mathbb{R}^+$  est une famille de  $\mathbb{Z}/2\mathbb{Z}$ -espaces vectoriels  $(V^t)_{t\geq 0}$ , et une famille d'applications linéaires  $(v^t_s\colon V^s\to V^t)_{0\leq s\leq t}$  telles que:

- pour tout  $t \geq 0$ ,  $v_t^t \colon V^t \to V^t$  est l'application identité,
- ullet pour tout  $r,s,t\geq 0$  tels que  $r\leq s\leq t$ , on a  $v_s^t\circ v_r^s=v_r^t$ .



#### Construction générale des modules de persistance :

Une filtration de  $\mathbb{R}^n$  est un collection de sous-ensembles  $(X_t)_{t\geq 0}$  tels que  $X_s\subset X_t$  quand  $s\leq t$ .

En appliquant le  $i^{\text{ème}}$  foncteur d'homologie, on obtient un module de persistance.

#### Théorème (Crawley-Boevey, 2015)

Un module de persistance (suffisament régulier) est isomorphe à une somme de modules-intervalles.

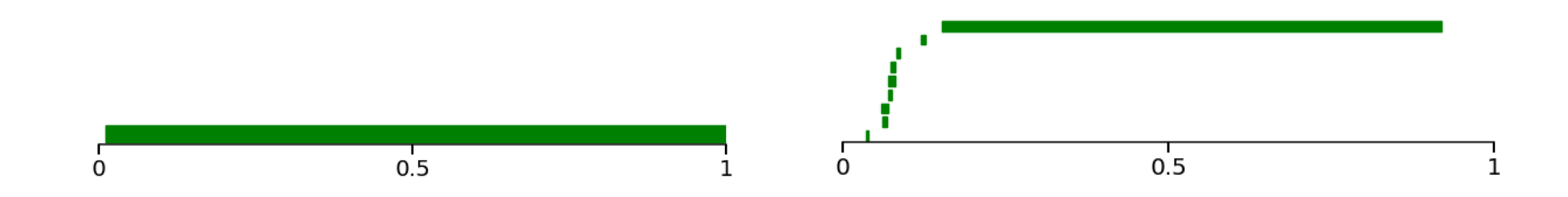
Ce multi-ensemble d'intervalles s'appelle le *code-barre*. C'est un invariant complet des modules de persistance.

0.5

Codes-barres du module de persistance associé à la filtration de Čech :  $H_0$  en rouge et  $H_1$  en vert.

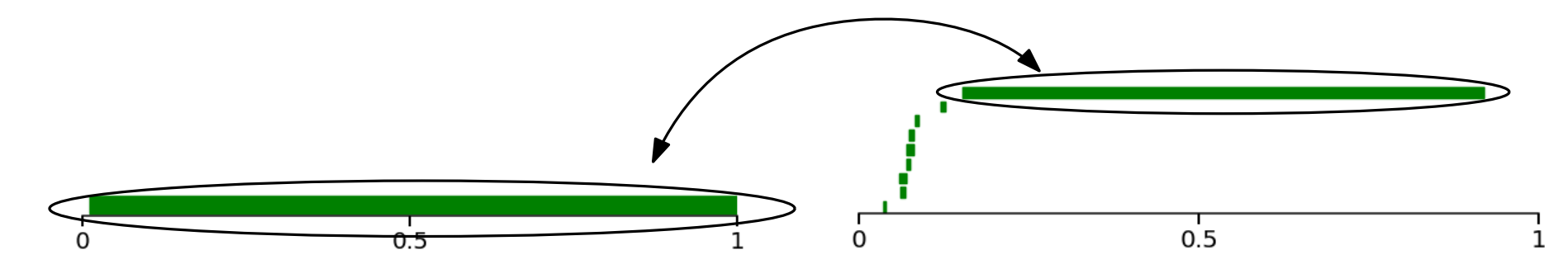
11/21 (1/7)

On peut définir une distance sur les codes-barres : la distance bottleneck.



11/21 (2/7)

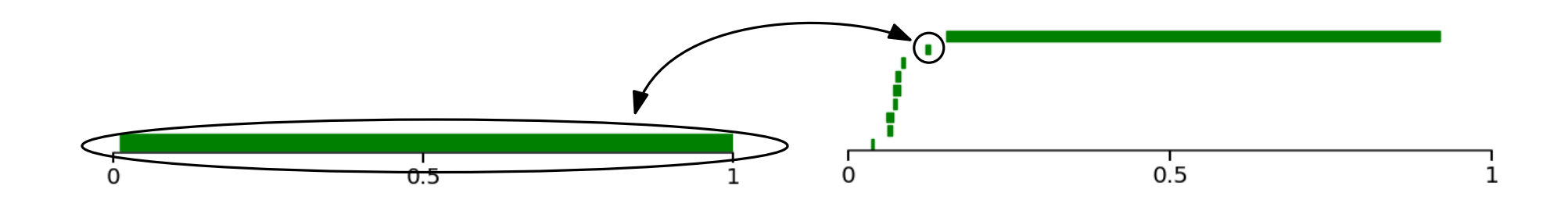
On peut définir une distance sur les codes-barres : la distance bottleneck.



Soit un appariement partiel entre deux codes-barres (certaines barres sont appareillées, d'autres non).

1/21 (3/7)

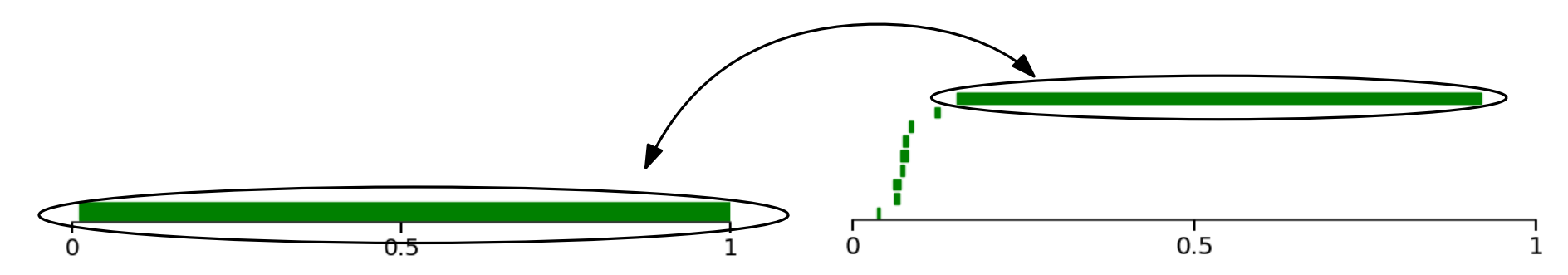
On peut définir une distance sur les codes-barres : la distance bottleneck.



Soit un appariement partiel entre deux codes-barres (certaines barres sont appareillées, d'autres non).

11/21 (4/7)

On peut définir une distance sur les codes-barres : la distance bottleneck.



Soit un appariement partiel entre deux codes-barres (certaines barres sont appareillées, d'autres non).

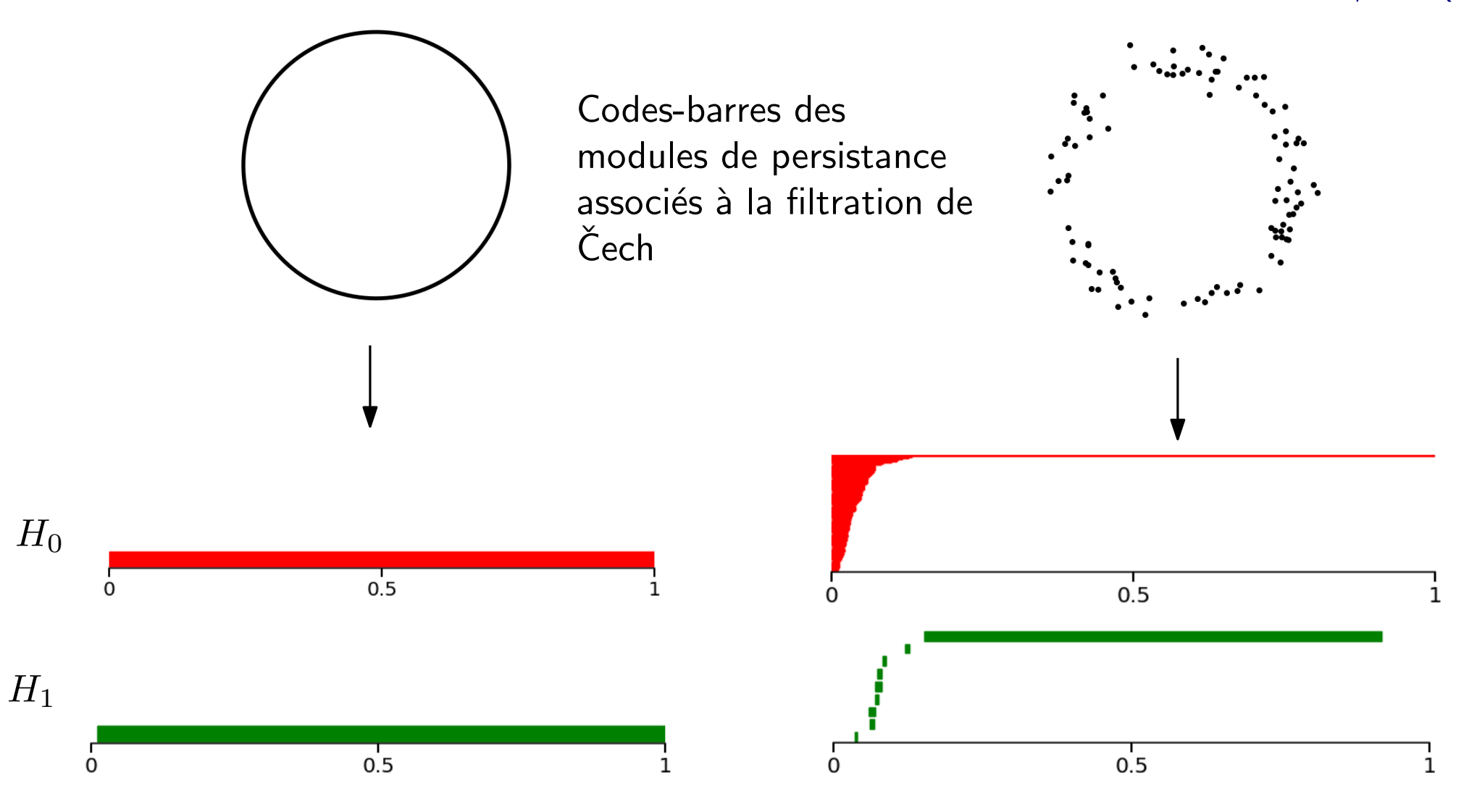
Son *coût* est le maximum entre :

- la différence entre deux barres appareillées
- la longueur des barres non-appareillées

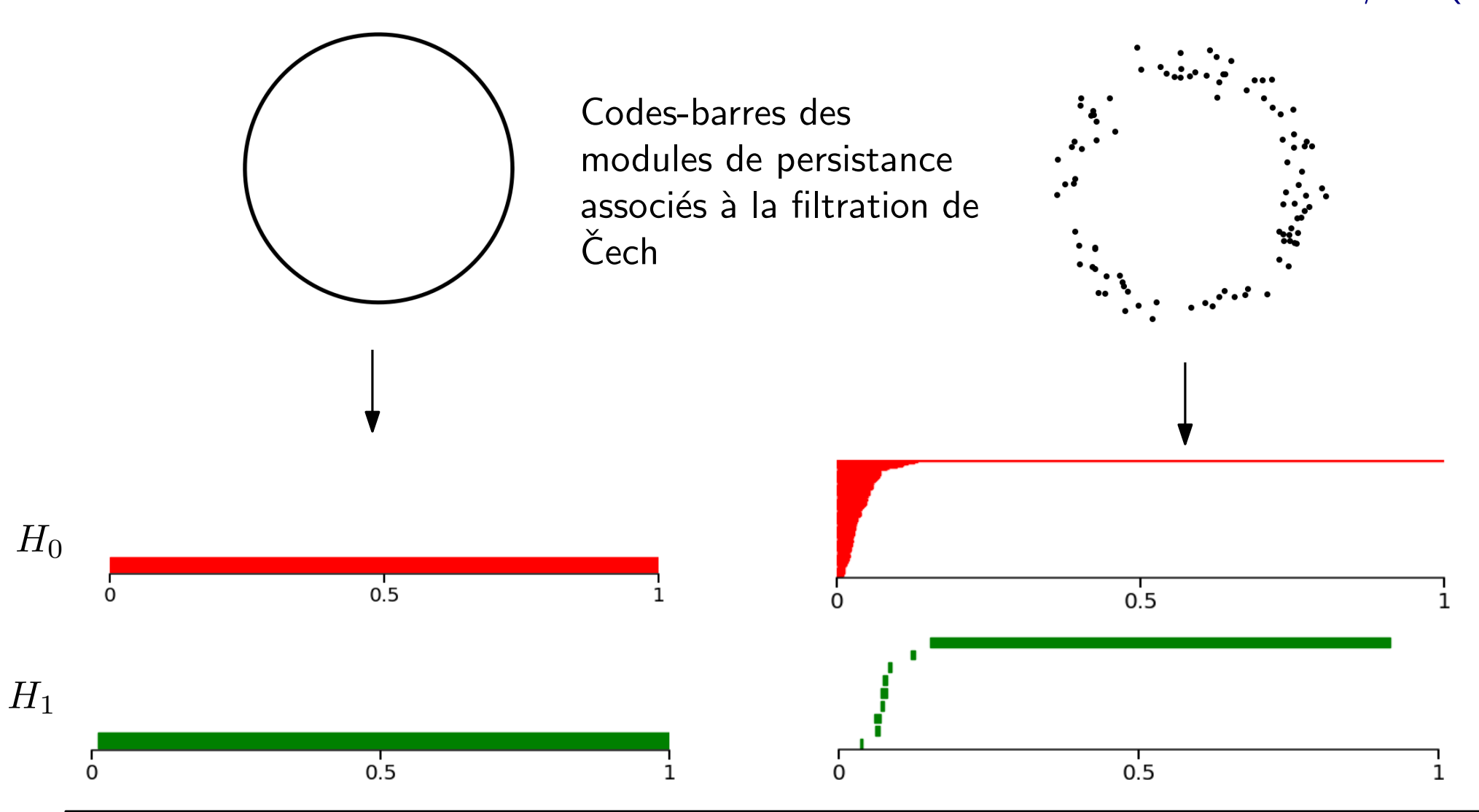
La distance bottleneck est le plus petit coût parmi les appariements partiels.

Les petites barres ont peu d'importance pour la distance bottleneck.

11/21 (5/7)



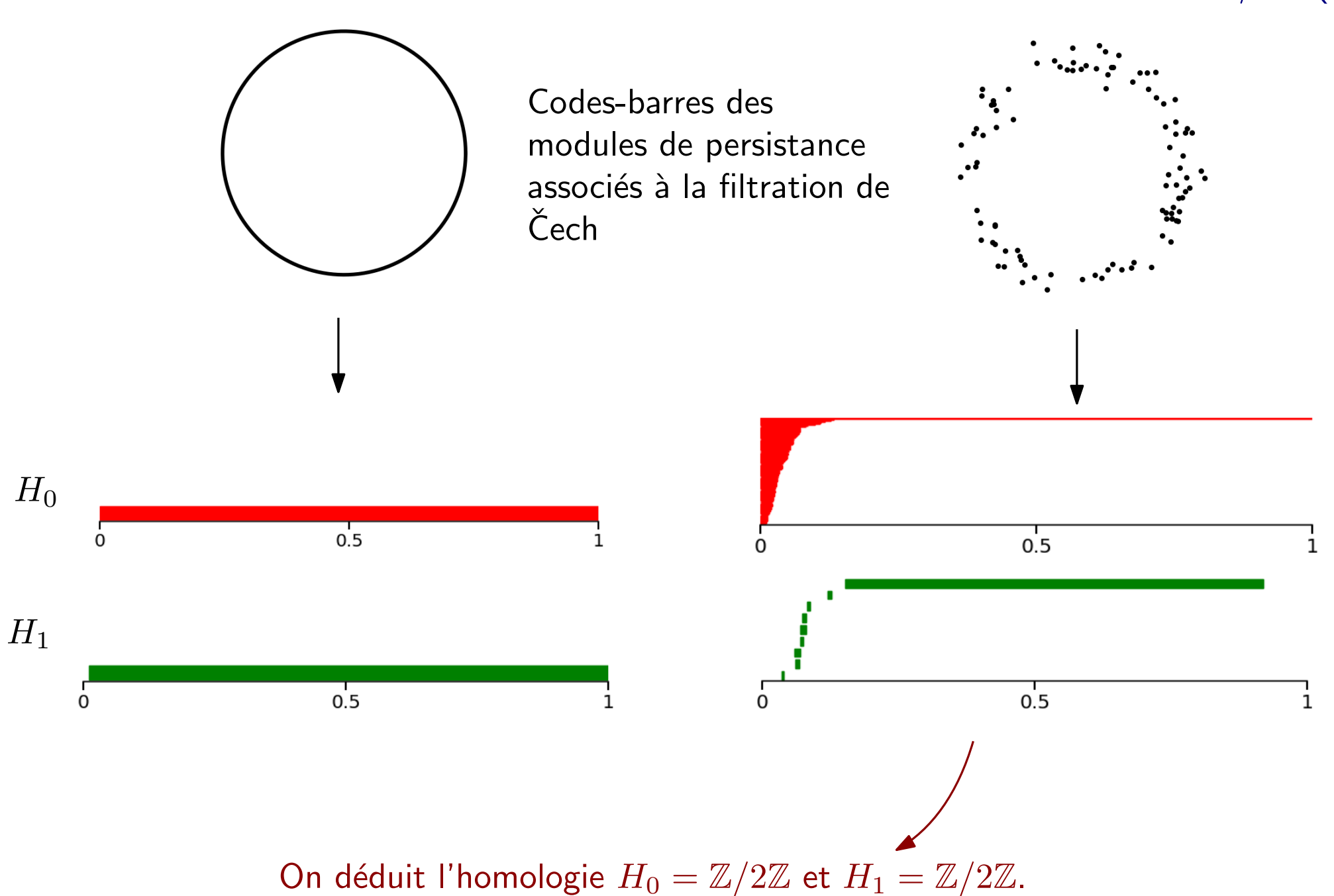
11/21 (6/7)



Théorème de stabilité (Edelsbrunner, Harer, Cohen-Steiner, 2005)

Soit  $X, Y \subset \mathbb{R}^n$  deux sous-ensembles compacts. Alors la distance bottleneck entre les codes-barres de leur filtration de Čech est majorée par la distance de Hausdorff  $d_H(X,Y)$ .

11/21 (7/7)



I - Homologie singulière

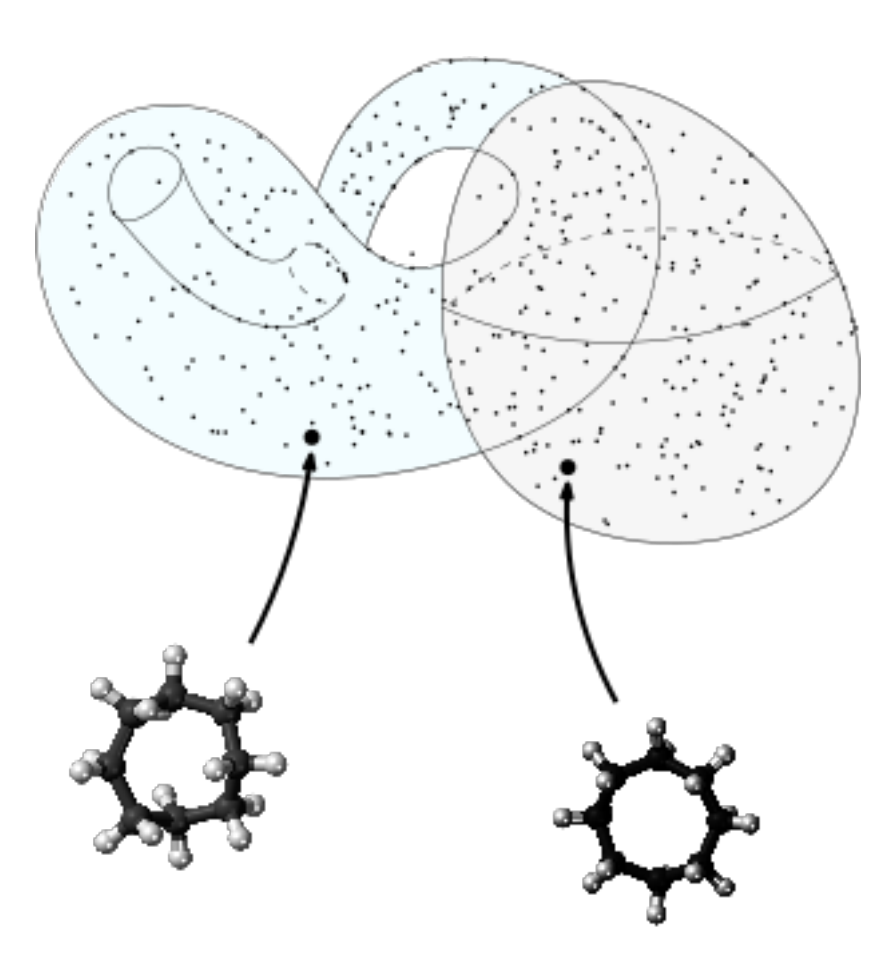
II - Homologie persistante

III - Exemples

IV - Homologie persistante pour mesures

Depuis [S. Martin, A. Thompson, E. A. Coutsias, and J-P. Watson, Topology of cyclo-octane energy landscape, 2010]

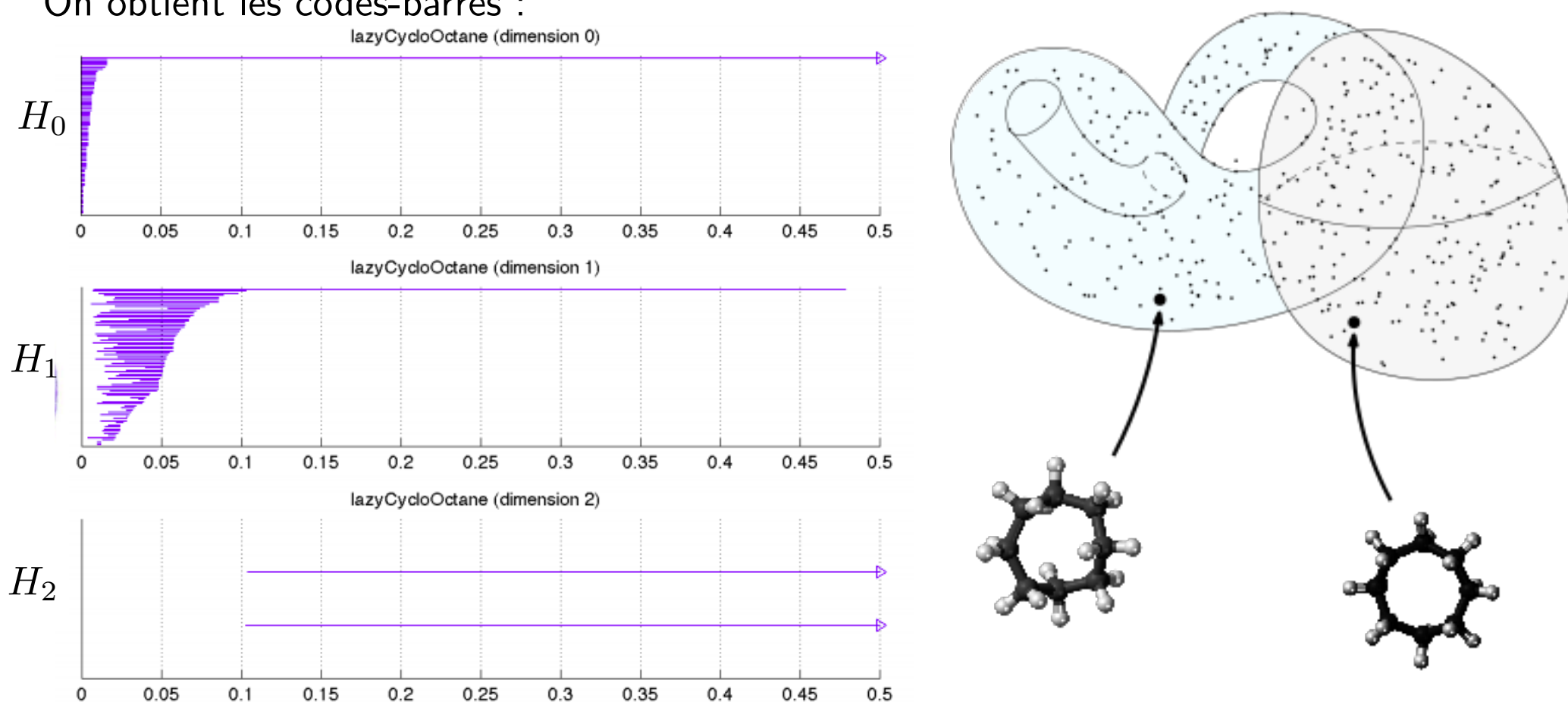
Une molécule de cyclooctane  $C_8H_{16}$  peut être transformée en un point dans  $\mathbb{R}^{72}$   $(3 \times (8+16)=72)$ .



Depuis [S. Martin, A. Thompson, E. A. Coutsias, and J-P. Watson, Topology of cyclo-octane energy landscape, 2010]

Une molécule de cyclooctane  $C_8H_{16}$  peut être transformée en un point dans  $\mathbb{R}^{72}$  $(3 \times (8+16) = 72).$ 

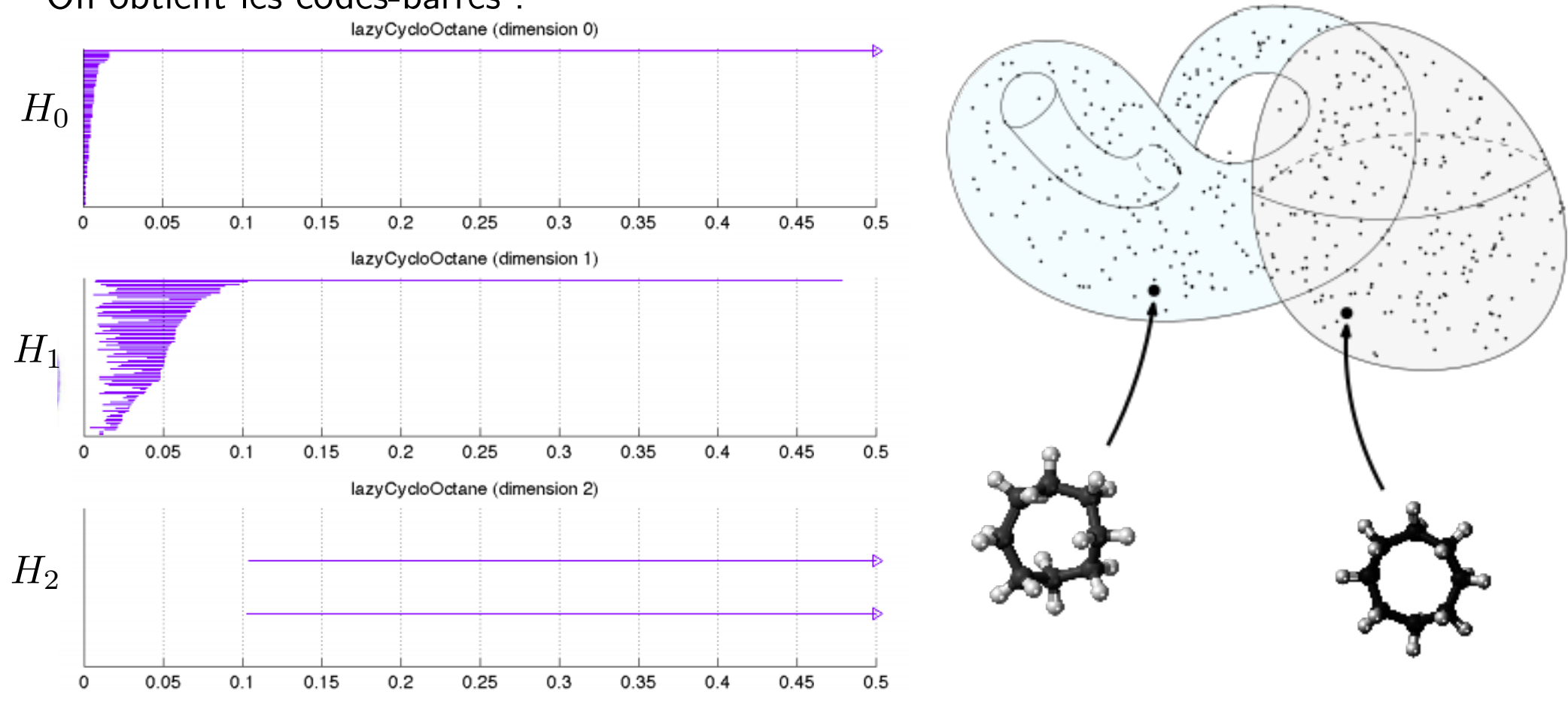
On obtient les codes-barres :



Depuis [S. Martin, A. Thompson, E. A. Coutsias, and J-P. Watson, Topology of cyclo-octane energy landscape, 2010]

Une molécule de cyclooctane  $C_8H_{16}$  peut être transformée en un point dans  $\mathbb{R}^{72}$   $(3 \times (8+16)=72)$ .

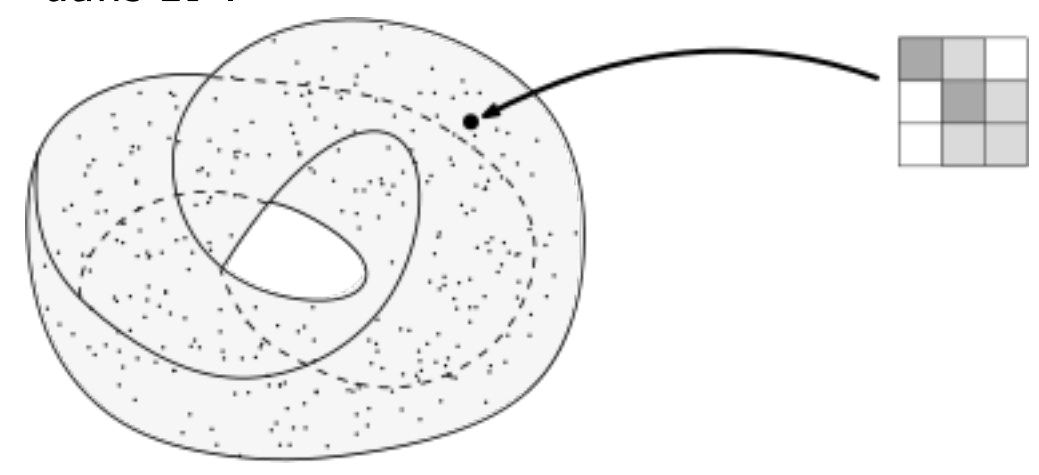
On obtient les codes-barres :



On déduit :  $H_0=\mathbb{Z}/2\mathbb{Z}, \ H_1=\mathbb{Z}/2\mathbb{Z}, \ H_2=(\mathbb{Z}/2\mathbb{Z})^2$ 

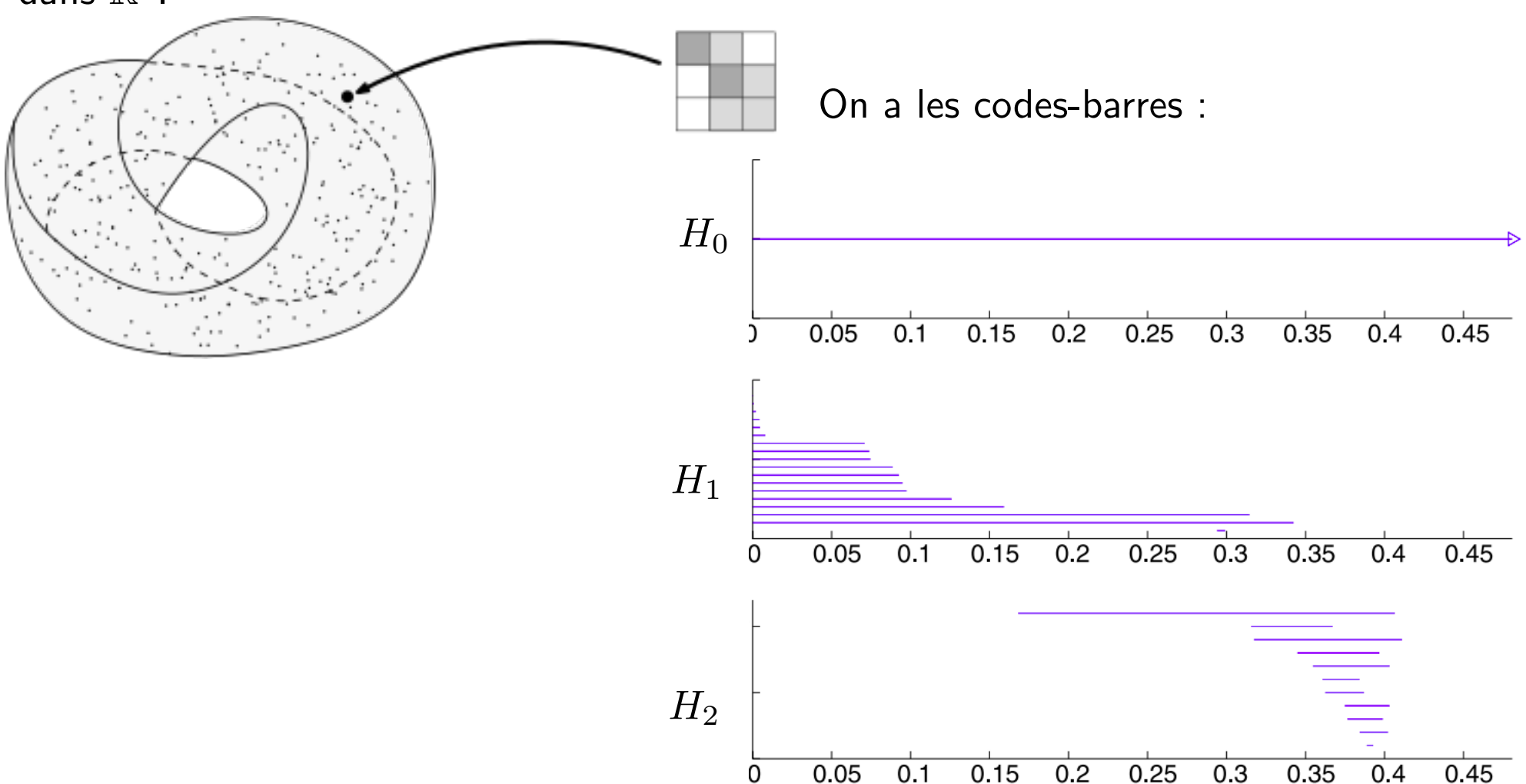
Depuis [On the Local Behavior of Spaces of Natural Images, Gunnar Carlsson, Tigran Ishkhanov, Vin de Silva, and Afra Zomorodian, 2008.]

À partir d'une large collection d'images, les auteurs extraient des sous-images de taille  $3 \times 3$  pixels. L'ensemble de ces patches peut ainsi être vu comme un nuage de points dans  $\mathbb{R}^9$ .



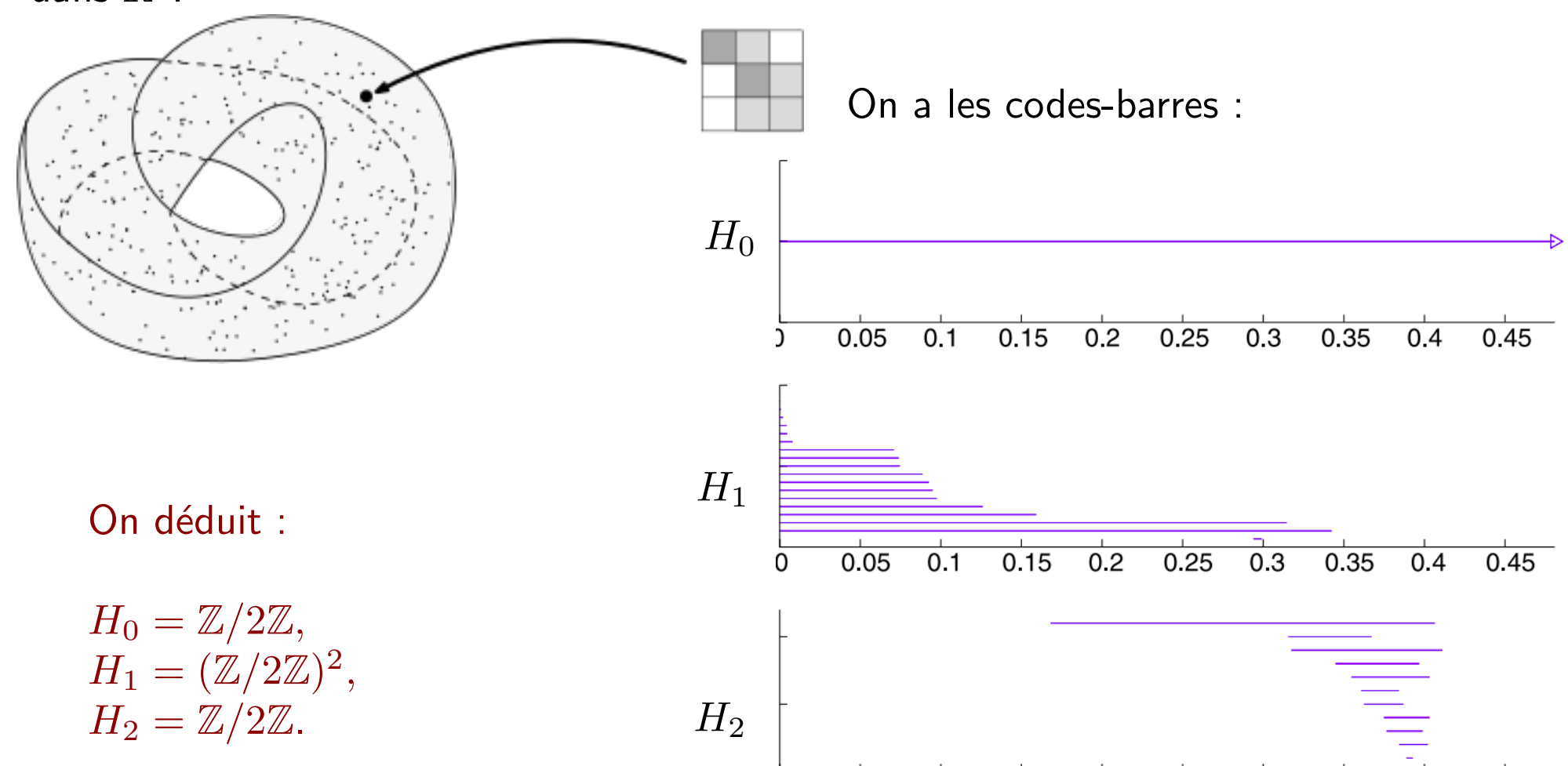
Depuis [On the Local Behavior of Spaces of Natural Images, Gunnar Carlsson, Tigran Ishkhanov, Vin de Silva, and Afra Zomorodian, 2008.]

À partir d'une large collection d'images, les auteurs extraient des sous-images de taille  $3 \times 3$  pixels. L'ensemble de ces patches peut ainsi être vu comme un nuage de points dans  $\mathbb{R}^9$ .



Depuis [On the Local Behavior of Spaces of Natural Images, Gunnar Carlsson, Tigran Ishkhanov, Vin de Silva, and Afra Zomorodian, 2008.]

À partir d'une large collection d'images, les auteurs extraient des sous-images de taille  $3 \times 3$  pixels. L'ensemble de ces patches peut ainsi être vu comme un nuage de points dans  $\mathbb{R}^9$ .



0

0.05

0.15

0.2

0.25

0.3

0.35

I - Homologie singulière

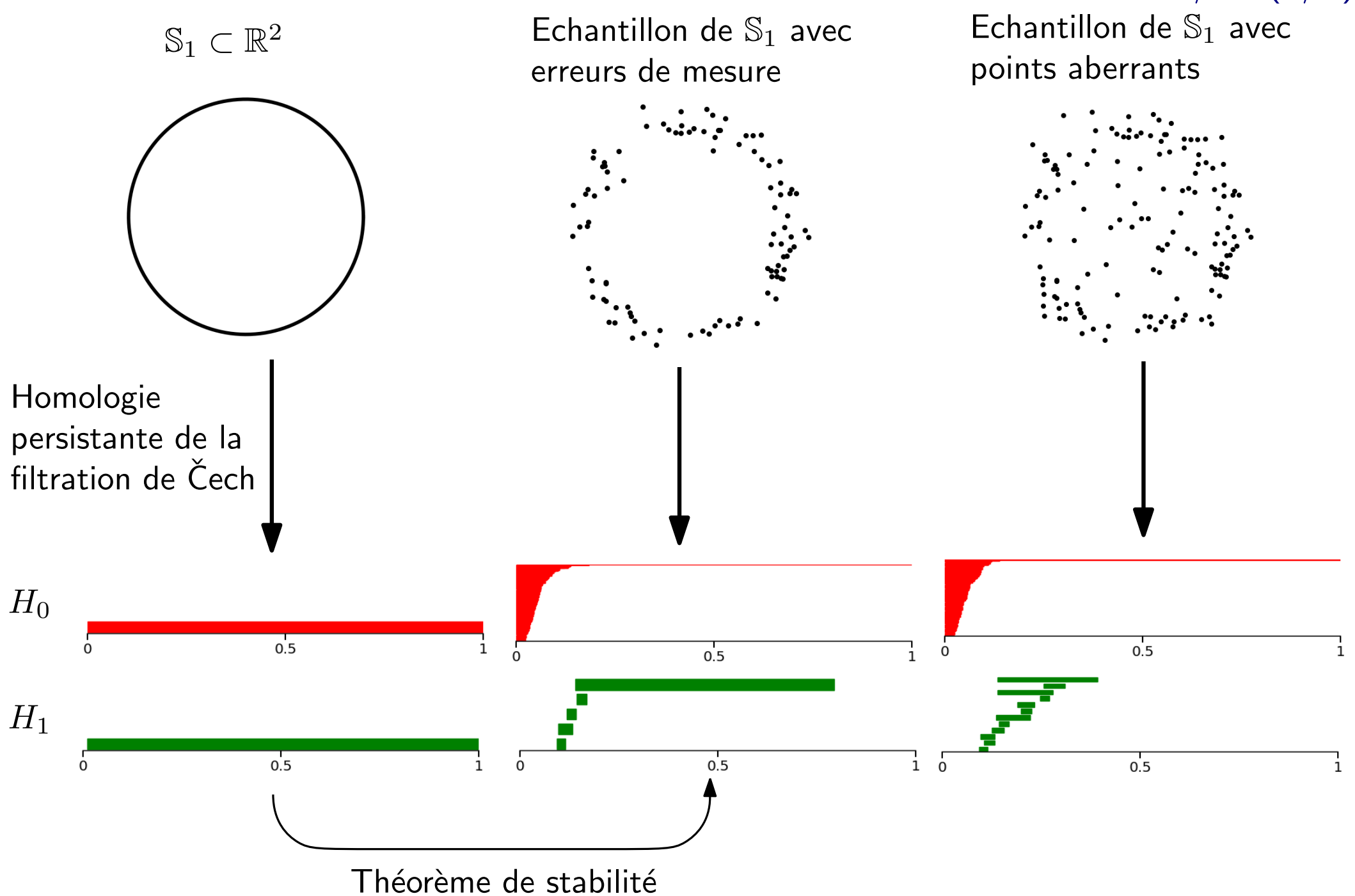
II - Homologie persistante

III - Exemples

IV - Homologie persistante pour mesures

## Le problème des points aberrants

16/21 (1/2)



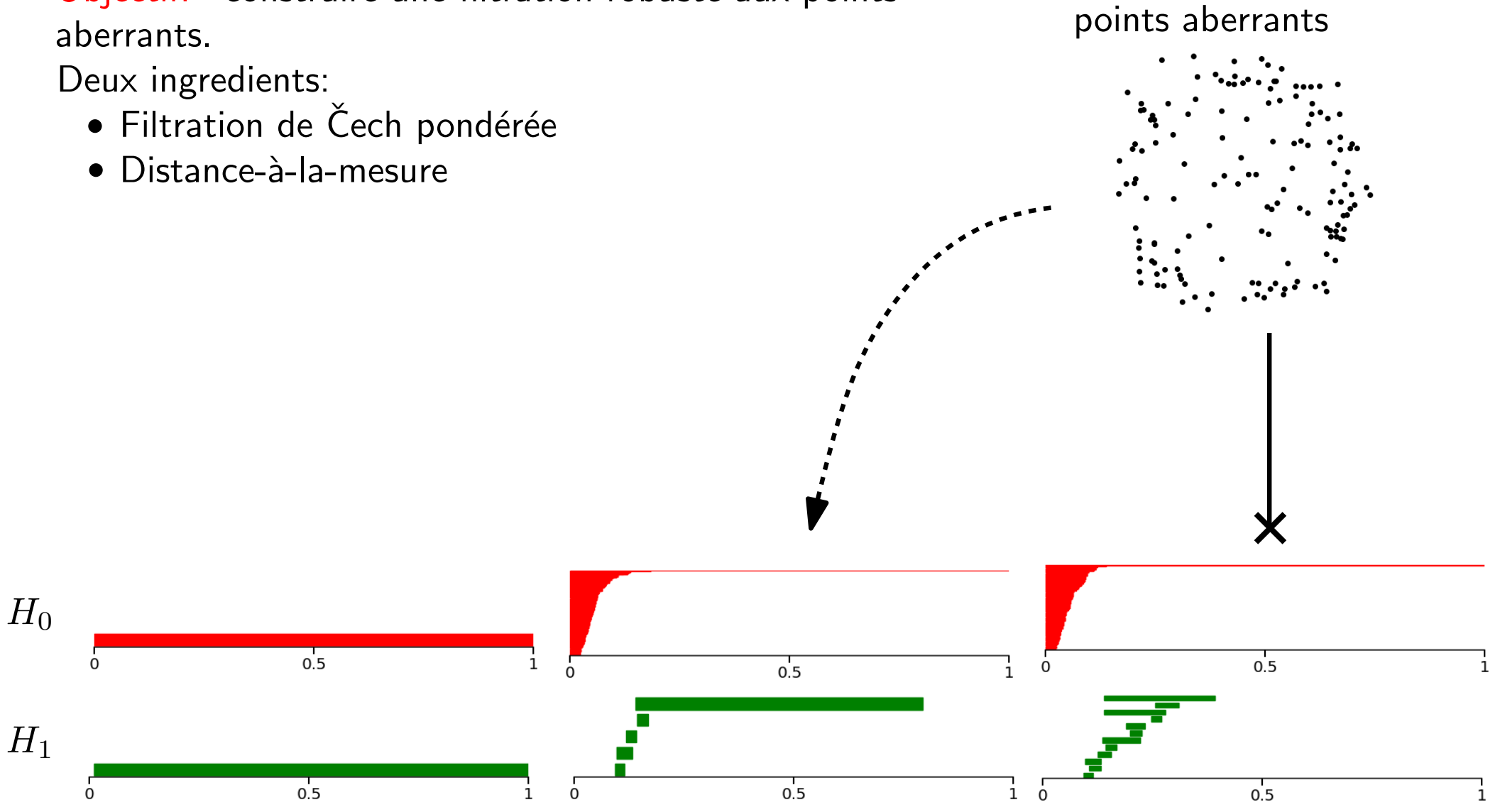
## Le problème des points aberrants

16/21 (2/2)

Echantillon de  $\mathbb{S}_1$  avec

Objectif: construire une filtration robuste aux points aberrants.

 $H_1$ 



Données :  $X \subset \mathbb{R}^n$ 

Rappel : La filtration de Čech de X est la collection  $V[X] = (X^t)_{t \geq 0}$ , où

$$X^{t} = \bigcup_{x \in X} \overline{\mathcal{B}}(x, t).$$

Soit  $f: X \to \mathbb{R}^+$  une application quelconque.

#### Définition

La filtration de Čech pondérée de X avec paramètre f est la collection  $V[X,f]=\left(V^t[X,f]\right)_{t\geq 0}$ , où

$$V^{t}[X, f] = \bigcup_{x \in X} \overline{\mathcal{B}}(x, t - f(x)).$$

Données :  $X \subset \mathbb{R}^n$ 

Rappel : La filtration de Čech de X est la collection  $V[X] = (X^t)_{t \geq 0}$ , où

$$X^{t} = \bigcup_{x \in X} \overline{\mathcal{B}}(x, t).$$

Soit  $f: X \to \mathbb{R}^+$  une application quelconque.

#### Définition

La filtration de Čech pondérée de X avec paramètre f est la collection  $V[X,f]=\left(V^t[X,f]\right)_{t\geq 0}$ , où

$$V^{t}[X, f] = \bigcup_{x \in X} \overline{\mathcal{B}}(x, t - f(x)).$$

Plus f(x) est grand, plus on retarde l'apparition de x dans la filtration. On voudrait choisir f qui prenne de grandes valeurs sur les points aberrants.

# Distance-à-la-mesure (DTM)

18/21 (1/3)

Introduite dans [Chazal, Cohen-Steiner, Mérigot. Geometric inference for probability measures, 2011].

Soit  $\mu$  une mesure de probabilité. Pour  $x \in \mathbb{R}^n$  et  $t \in [0,1)$ , on définit

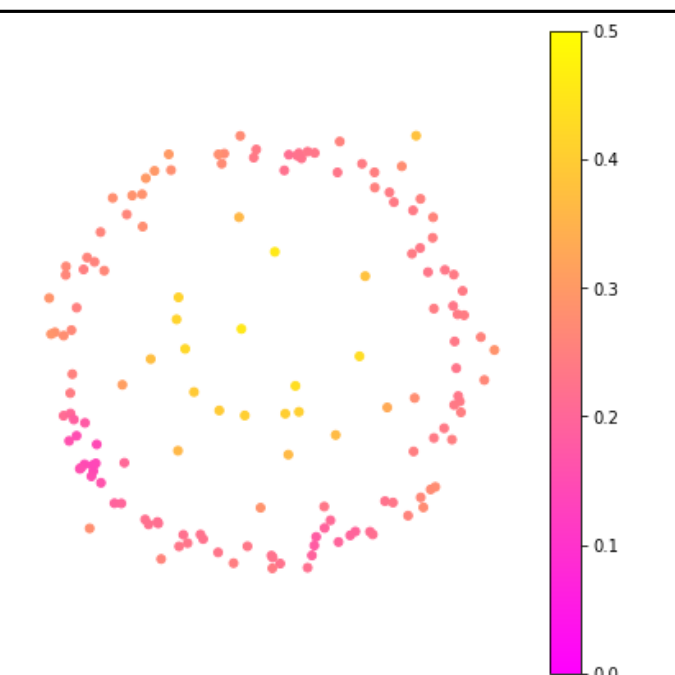
$$\delta_{\mu,t}(x) = \inf\{r \ge 0, \mu(\overline{\mathcal{B}}(x,r) > t\}.$$

#### **Définition**

Soit  $m \in [0, 1[$ . La DTM de  $\mu$  avec paramètre m est l'application :

$$d_{\mu,m}: \mathbb{R}^n \longrightarrow \mathbb{R}$$

$$x \longmapsto \sqrt{\frac{1}{m} \int_0^m \delta_{\mu,t}^2(x) dt}$$



 $\mathrm{d}_{\mu,m}$  avec m=0,1 $\mu$  mesure empirique sur X

# Distance-à-la-mesure (DTM)

18/21 (2/3)

Introduite dans [Chazal, Cohen-Steiner, Mérigot. Geometric inference for probability measures, 2011].

Soit  $\mu$  une mesure de probabilité. Pour  $x \in \mathbb{R}^n$  et  $t \in [0,1)$ , on définit

$$\delta_{\mu,t}(x) = \inf\{r \ge 0, \mu(\overline{\mathcal{B}}(x,r) > t\}.$$

#### **Définition**

Soit  $m \in [0, 1[$ . La DTM de  $\mu$  avec paramètre m est l'application :

$$d_{\mu,m}: \mathbb{R}^n \longrightarrow \mathbb{R}$$

$$x \longmapsto \sqrt{\frac{1}{m} \int_0^m \delta_{\mu,t}^2(x) dt}$$

Théorème (Chazal, Cohen-Steiner, Mérigot, 2011)

Pour toute mesures de probabilité  $\mu, \nu$  and  $m \in (0, 1)$ , on a

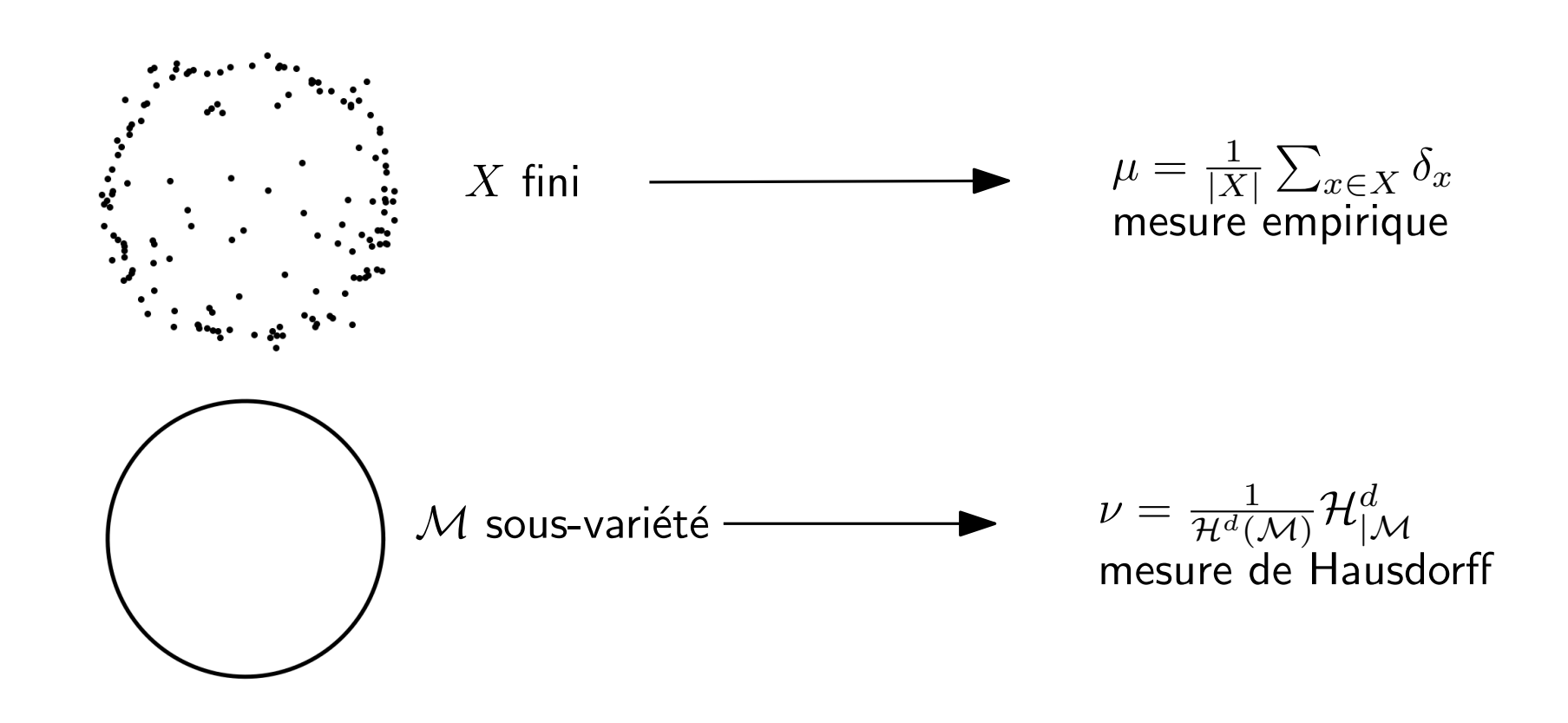
$$\|d_{\mu,m} - d_{\nu,m}\|_{\infty} \le m^{-\frac{1}{2}} W_2(\mu,\nu),$$

où W<sub>2</sub> représente la distance de Wasserstein.

## Distance-à-la-mesure (DTM)

18/21 (3/3)

On va maintenant comparer les nuages de points via leur distance de Wasserstein.



X et  $\mathcal M$  ne sont pas proches en distance de Hausdorff...

Mais  $\mu$  et  $\nu$  sont proches en distance de Wasserstein !

#### Définition

Soit  $\mu$  une mesure de probabilité et  $m \in [0, 1)$ .

La filtration-DTM de paramètres  $\mu$  et m est la filtration de Čech pondérée V[X,f] avec les paramètres :

- $\bullet X = \operatorname{supp}(\mu)$
- $\bullet f = \mathbf{d}_{\mu,m}$

Elle est notée  $W[\mu, m]$ .

Explicitement,  $W[\mu, m] = (W^t[\mu, m])_{t \ge 0}$  avec :

$$W^{t}[\mu, m] = \bigcup_{x \in \text{supp}(\mu)} \overline{\mathcal{B}}(x, t - d_{\mu, m}(x))$$



Définissons  $c(\mu, m) = \sup_{x \in \text{supp}(\mu)} d_{\mu, m}(x)$ .

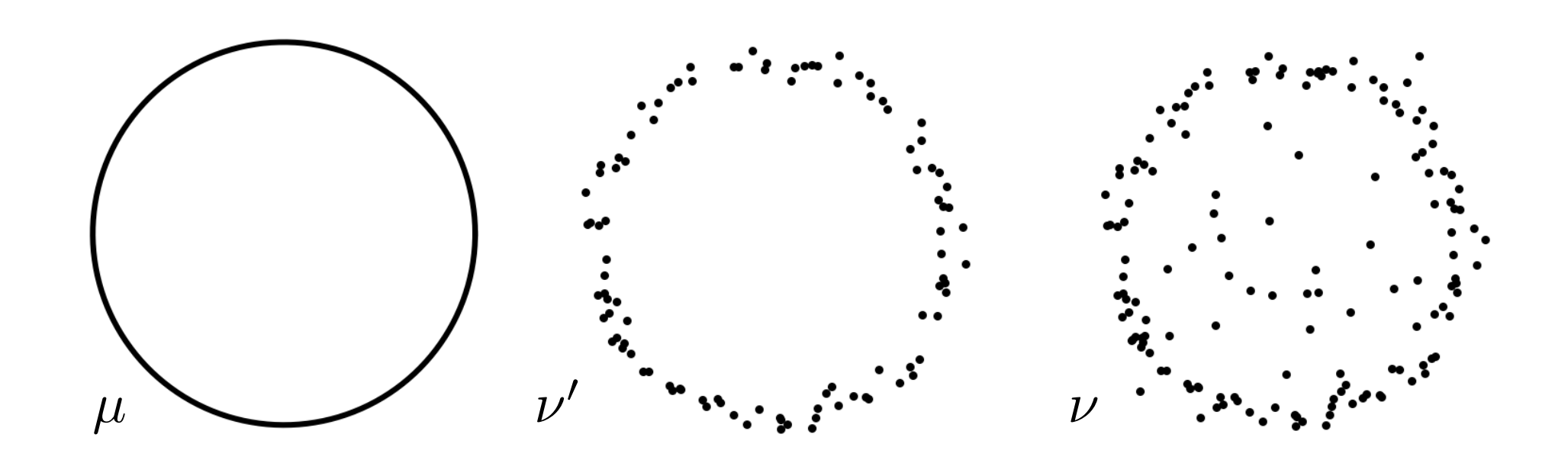
La quantité c est faible si la mesure  $\mu$  est proche de la mesure de Hausdorff sur un sous-variété.

Théorème (Anai, Chazal, Glisse, Ike, Inakoshi, T. and Umeda, 2020)

Soient  $\mu, \nu$  des mesures de probabilité. Soit  $\nu'$  une mesure de probabilité à support compact inclus dans  $\operatorname{supp}(\nu)$ .

La distance bottleneck entre les filtrations-DTM  $W[\mu,m]$  et  $W[\nu,m]$  est bornée par :

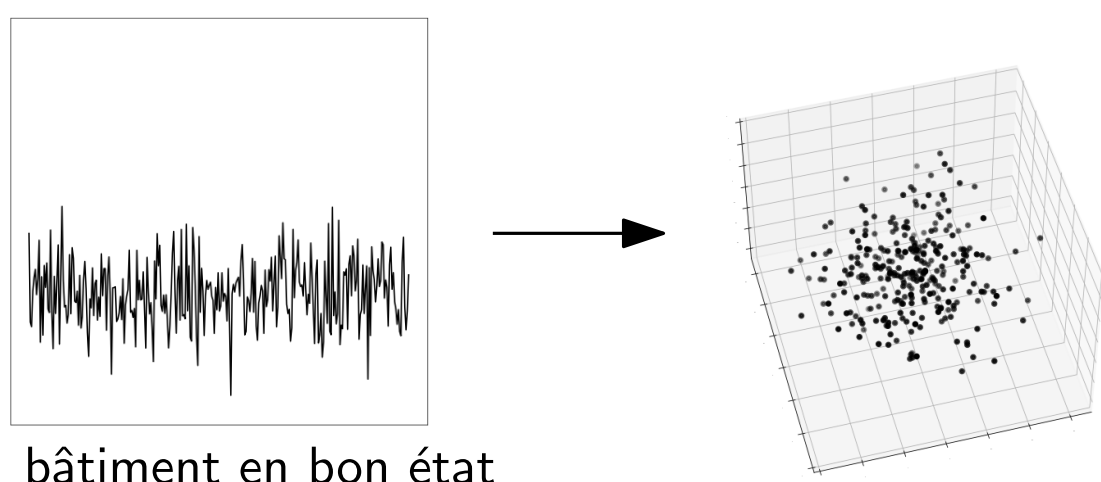
$$m^{-\frac{1}{2}}W_2(\mu,\nu') + m^{-\frac{1}{2}}W_2(\nu',\nu) + c(\mu,m,p) + c(\nu',m,p)$$



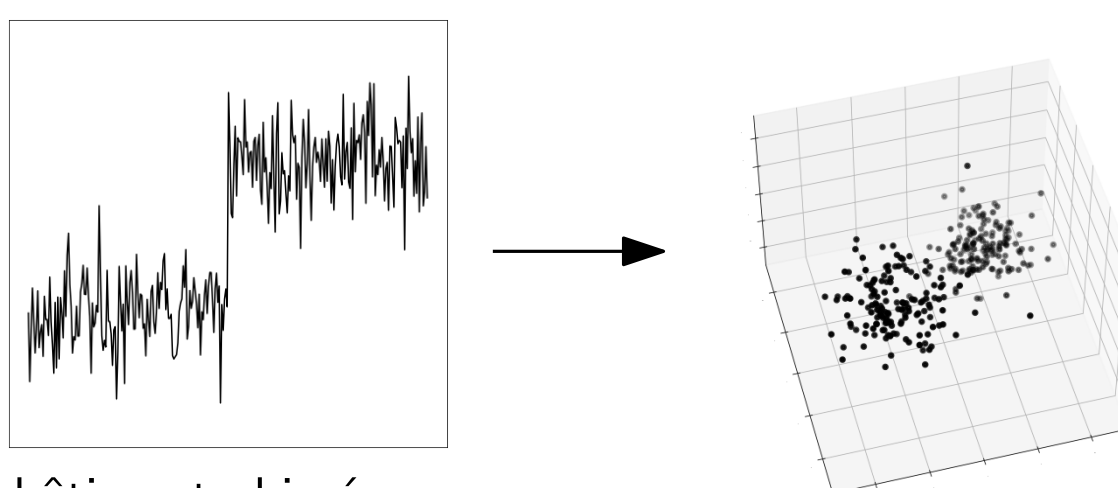
On s'intéresse à l'usure des bâtiments.

On obtient des séries temporelles (mesures de capteurs inertiels). On transforme une série temporelle  $(x_1, x_2, \dots, x_n)$  en le nuage de points

$$\{(x_1,x_2,x_3),(x_2,x_3,x_4),\ldots,(x_{n-2},x_{n-1},x_n)\}.$$



bâtiment en bon état

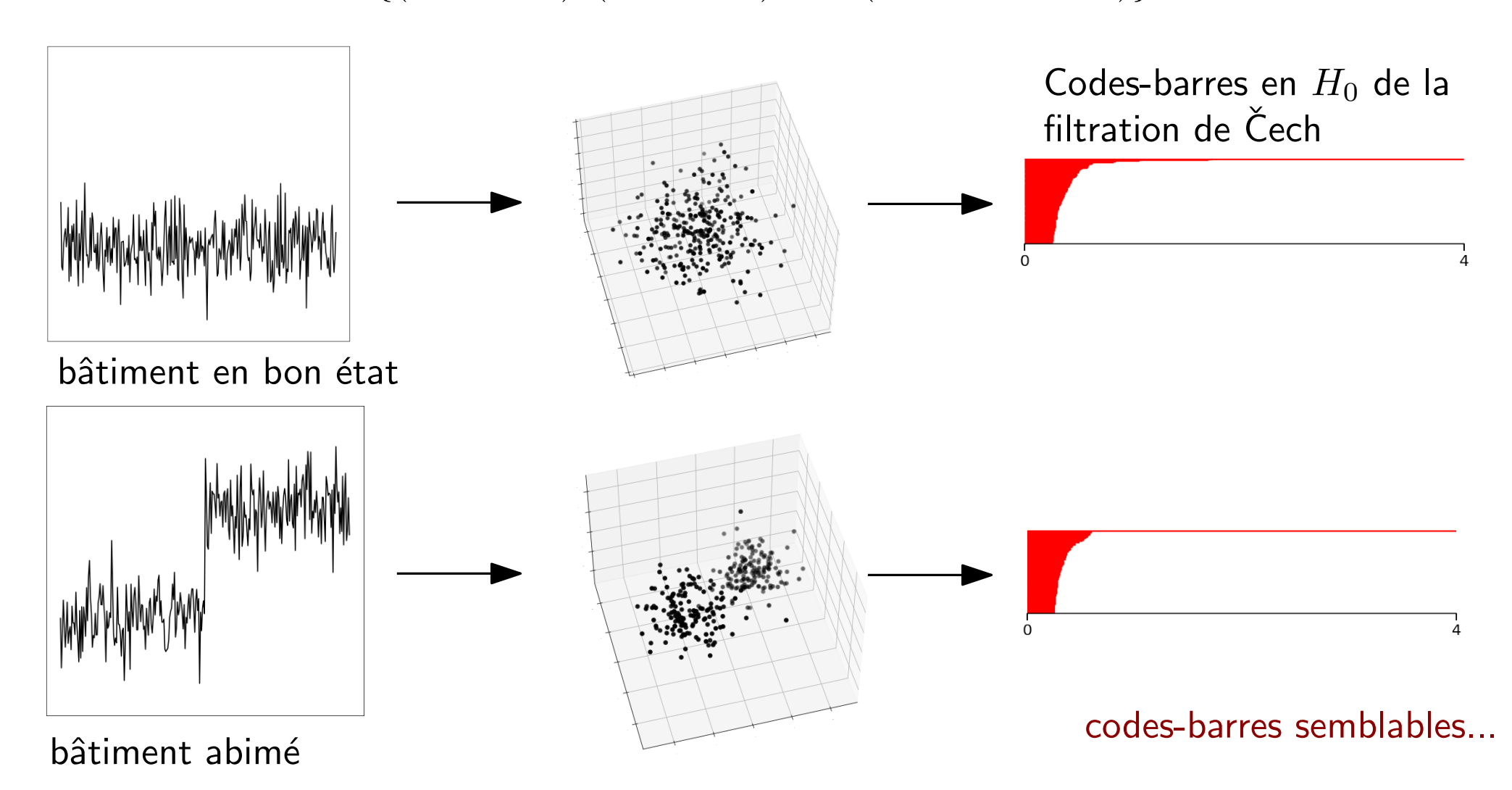


bâtiment abimé

On s'intéresse à l'usure des bâtiments.

On obtient des séries temporelles (mesures de capteurs inertiels). On transforme une série temporelle  $(x_1, x_2, \ldots, x_n)$  en le nuage de points

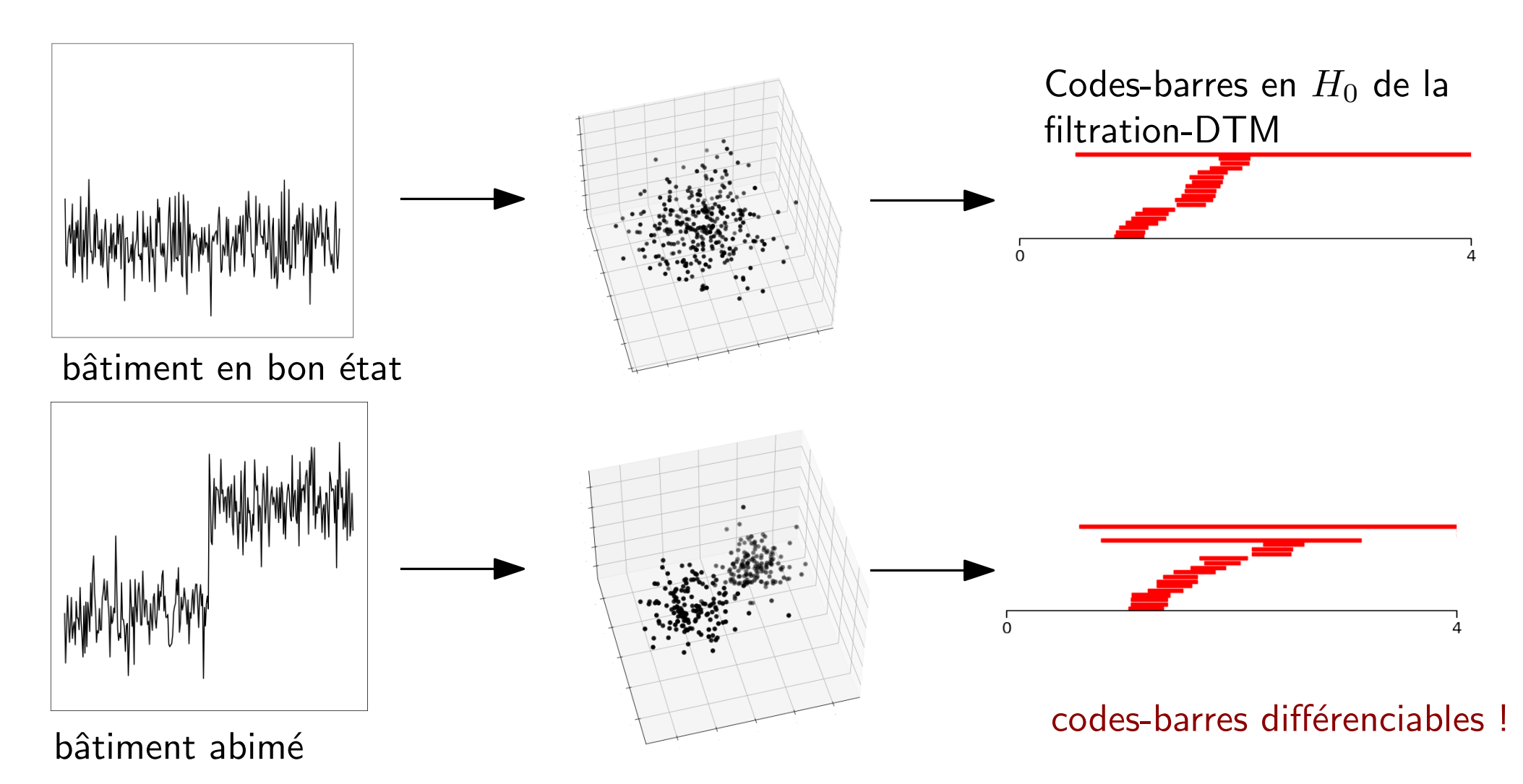
$$\{(x_1, x_2, x_3), (x_2, x_3, x_4), \dots, (x_{n-2}, x_{n-1}, x_n)\}.$$



On s'intéresse à l'usure des bâtiments.

On obtient des séries temporelles (mesures de capteurs inertiels). On transforme une série temporelle  $(x_1, x_2, \ldots, x_n)$  en le nuage de points

$$\{(x_1,x_2,x_3),(x_2,x_3,x_4),\ldots,(x_{n-2},x_{n-1},x_n)\}.$$



### Conclusion

- L'homologie persistante permet d'estimer l'homologie des objets géométriques sous-jacents aux jeux de données.
- Repose sur l'hypothèse qu'un tel objet géométrique sous-jacent existe.
- On peut réparer la théorie pour le cas où le jeu de données contient des points aberrants.

### Conclusion

- L'homologie persistante permet d'estimer l'homologie des objets géométriques sous-jacents aux jeux de données.
- Repose sur l'hypothèse qu'un tel objet géométrique sous-jacent existe.
- On peut réparer la théorie pour le cas où le jeu de données contient des points aberrants.

Merci!